

T.C.
İNÖNÜ ÜNİVERSİTESİ
TIP FAKÜLTESİ

138680

BEHÇET HASTALIĞINDA RENAL RENKLİ DOPPLER
İNCELEME

UZMANLIK TEZİ

138680

DR. DENİZ ÖZEL
RADYODİAGNOSTİK ANABİLİM DALI

TEZ YÖNETİCİSİ : YRD. DOÇ. DR. RAMAZAN KUTLU

MALATYA 2003

Bu tezin hazırlanmasında emeği geçen başta Dr. Ramazan Kutlu olmak üzere tüm bölümümüz öğretim üyelerine,

Yardımlarını gördüğüm sayın Yrd. Doç. Dr. Ersoy Hazneci'ye

Asistanlık eğitimim boyunca hep yanımdaya olan ve tezimi hazırlamamda katkıları bulunan başta Dr. Selim Doğanay olmak üzere tüm araştırma görevlisi arkadaşlarımı,

Teşekkürü borç bilirim....

İÇİNDEKİLER

Giriş , Behçet hastalığının tarihçesi, Epidemiyoloji.....	1
Behçet hastalığının patogenezi.....	2
Behçet hastalığının tanısı.....	4
Behçet hastalığında vasküler sistem tutulum bulguları.....	6
Behçet hastalığında üriner sistem tutulum bulguları.....	7
Behçet hastalığında seyir ve prognoz.....	7
Böbrek arterlerinin anatomisi.....	8
Renal ultrasonografi.....	9
Renal renkli doppler inceleme.....	10
RI ve PI'i etkileyen faktörler.....	15
Doppler dalga analizi.....	16
Giriş, Gereç ve yöntem.....	18
Bulgular.....	19
Tartışma.....	37
Sonuç.....	43
Özet.....	44
Kaynaklar.....	46
Özgeçmiş.....	51

SİMGELER VE KISALTMALAR

AT : Acceleration time (Akselerasyon zamanı)

EDV : End diastolic velocity (Diastol sonu kan akım hızı)

PI : Pulsatility index (Pulsatilité indeksi)

PSV : Peak systolic velocity (Pik sistolik kan akım hızı)

RAO : Reno Aortik Oran

RI : Resistive index (Rezistiv indeks)

RAD Renal Arter Debisi

S / D : Sistolik akım hızının diastolik akım hızına oranı

TAM : Time average mean velocity (Zaman aralığına uyan ortalama akım hızı)

USG : Ultrasonografi

RESİMLER

Resim 1 : Böbrek arterlerinin ve glomerüllerin anatomik görünümü

Resim 2 : Böbrek arterlerinin morfolojik ve anjiografik görünümleri

Resim 3 : Gri skala böbrek USG görünümü

Resim 4 : Renal arterin aort çıkışından renal hilusa dek renkli doppler görünümü

Resim 5 : Renal arter ve venin renkli doppler görünümü

Resim 6 : Renal artere ait renkli doppler ve spektral inceleme

Resim 7 : İnterlober arterlerin renkli doppler görüntülenmesi ve spektral inceleme

TABLOLAR

- Tablo 1. Japonya Behçet Sendromu Araştırma Komitesi'nin 1987 yılında oral muköz membranlarının majör tekrarlayıcı aftöz ülserasyonları ile revize ettiği tanı kriterleri.
- Tablo 2. Behçet hastalığının sınıflamasında uluslararası tanı kriterleri (1990).
- Tablo 3. RI ve PI yi değiştiren ana faktörler
- Tablo 4. Hasta ve kontrol grubuna ait klinik parametrelerin karşılaştırılması
- Tablo 5. Hasta ve kontrol grubunda böbrek boyutları , ortalama parankim kalınlığı renal arter çapları ve RAOların karşılaştırılması
- Tablo 6. Sağ renal ve interlober arterlere ait parametrelerin karşılaştırılması
- Tablo 7. Sol renal ve interlober arterlere ait parametrelerin karşılaştırılması
- Tablo 8. Her iki renal arter debilerinin Behçet ve kontrol grubunda karşılaştırılması
- Tablo 9. Behçet hastalarında renal arter debisini ve oluşturan parametrelerin sağ ve sol böbrekte karşılaştırılması.
- Tablo 10. Behçet hastalarında sağ ve sol böbrekler arasında RAO , böbrek boyutları ve parankim kalınlıklarının karşılaştırılması.
- Tablo 11. Behçet hastalarında sağ ve sol böbrekler arasında renal arterlerde akım parametreleri
- Tablo 12. Behçet hastalarında sağ ve sol interlober arterlerde akım parametreleri
- Tablo 13. Behçet ve kontrol grubunun erkek cinsiyetde her iki böbrek boyutları, parankim kalınlığı, arter çapları ve RAOların karşılaştırılması
- Tablo 14. Behçet ve kontrol grubunun (erkek) renal arter debilerinin karşılaştırılması
- Tablo 15. Behçet ve kontrol grubuna ait (erkek) sağ böbrek akım parametrelerinin karşılaştırılması
- Tablo 16. Behçet hastaları ve kontrol grubunda (erkek) sol renal ve interlober arterlere ait akım parametrelerinin karşılaştırılması.
- Tablo 17. Behçet hastaları ve kontrol grubunda (kadın) böbrek boyutları, ortalama parankim kalınlığı ve RAOların karşılaştırılması
- Tablo 18. Behçet hastaları ve kontrol grubunda (kadın) her iki renal arter debilerinin karşılaştırılması
- Tablo 19. Behçet hastaları ve kontrol grubunda (kadın) sağ renal ve interlober arterlere ait parametrelerin karşılaştırılması
- Tablo 20. Behçet hastaları ve kontrol grubu (kadın) sol renal ve interlober arterlere ait parametrelerin karşılaştırılması

Tablo 21. 6 yıldan daha kısa süredir behçet hastası olanlarda böbrek boyutları, parankim kalınlıkları, kan basıncıları ve renal arter debilerinin kontrol grubu ile karşılaştırılması

Tablo 22. 7 yıl ve daha uzun süredir behçet hastası olanlarda böbrek boyutları, parankim kalınlıkları, kan basıncıları ve renal arter debilerinin kontrol grubu ile kıyaslaması

Tablo 23. 1-6 yıldır behçet hastası olanlarda sağ renal ve interlober arterlere ait parametrelerin kontrol grubu ile karşılaştırılması

Tablo 24. 1-6 yıldır behçet hastası olanlarda sol renal ve interlober arterlere ait parametrelerin kontrol grubu ile karşılaştırılması

Tablo 25. 7 yıl ve daha uzun süredir behçet hastası olanlarda sağ renal ve interlober arterlere ait parametrelerin kontrol grubu ile karşılaştırılması

Tablo 26. 7 yıl ve daha uzun süredir behçet hastası olanlarda sol renal ve interlober arterlere ait parametrelerin kontrol grubu ile karşılaştırılması

GİRİŞ

Behçet hastlığı, dermal, oküler, artiküler, vasküler, gastrointestinal ve nörolojik belirtilerle kendini gösteren, kronik bir hastalıktır. İlk olarak 1937' de Hulusi Behçet tarafından, rekürren oral ve genital ülserlerle birlikte göz lezyonları şeklinde bir trisemptom kompleksi olarak tanımlanmıştır (1,2). Hastalığın etyolojisinin bilinmemesi nedeniyle, tedavi seçenekleri patogenezin çeşitli basamaklarına yönelikdir (3). Tedavi şekli hastalığın şiddetine ve sistemik tutulum bulunup bulunmamasına göre belirlenmektedir (1- 4).

1. Tarihçe

İlk olarak 1937 yılında, Hulusi Behçet, tekrarlayan oral ve genital ülserasyon ve hipopiyonlu iridosiklitî olan üç olgu bildirmiştir ve hastalığın klasik üçlü semptom kompleksini tanımlamıştır. Daha önceki yıllarda da benzer klinik tabloların tanımladığı bilinmektedir. Yaklaşık 2500 yıl önce "Hippocrates", 1908 yılında "Blüthe", üçlü semptom kompleksine benzer bulgular tanımlamıştır. Adamatiades, bu üçlü semptom kompleksine ek olarak flebit ve hidrartroz bulgularını tanımlamıştır (1,2,5).

1947 yılında Cenevre' de yapılan Uluslararası Dermatoloji Kongresi' nde hastalığın ayrı bir antite olduğu kabul edilmiş ve "Morbus Behçet" adının verilmesi kararlaştırılmıştır. Hulusi Behçet, hastalığın, tanımladığı triaddan başka, kişilere göre değişen semptomlar da gösteren, bütün vücutu tutabilen ayrı bir hastalık olduğunu yıllarca savunmuş, etkeninin de bir virus olabileceğini düşünmüştür. Daha sonraki çalışmalarında artiküler, vasküler, intestinal, pulmoner ve nörolojik tutulumlarla birlikte multisistemik seyir gösterebildiği ortaya konmuştur.

2. Epidemiyoloji

Behçet hastlığı dünyanın değişik yerlerinde görülmeye kararın en yüksek prevalans Ortadoğu ve Japonya' dadır. Kuzey Avrupa, ABD ve İngiltere' de ise daha az oranda görülmektedir. Ortadoğu ve Japonya' da 1/1.000, İngiltere ' de 0.0064/10.000, ABD' de 1/300.000 olarak bildirilmiştir (6- 8).

Türkiye'de ilk olarak Silivri ilçesinde yapılan araştırmada prevalansı 8/10.000 olarak saptanmış, Fatsa ilçesi Çamaş bölgesinde yapılan ikinci saha taramasında ise erişkin populasyonda prevalansının 37/10.000 olduğu belirlenmiştir (2). Almanya' da yaşayan Türklerde prevalans 21/10.000 olarak gözlenmiş, bunun ülkemizde bulunan değerlerden daha düşük ancak Alman kökenli olanlardan daha yüksek (0.42-0.55/10.000) olduğu belirlenmiştir (9).

Behçet hastalığı en sık 20-40 yaş arası genç erişkinlerde görülmekle birlikte çocukluk ve ileri yaşlarda da olgular bildirilmiştir. Çeşitli yaynlarda erkeklerde daha fazla izlendiği bildirilmektedir. Puberte öncesi ve 50 yaş sonrası başlangıcın nadir olduğu, erkek ve başlangıç yaşı 20' nin altında olduğu olgularda hastalığın daha ağır seyrettiği bildirilmiştir (8- 10).

Olgularda klinik bulguların sıklığının araştırıldığı çalışmalarında, çeşitli bölgelerden farklı sonuçlar bildirilmiştir. Ülkemizde klinik bulguların görülme yüzdeleri değerlendirildiğinde;

Tekrarlayıcı oral ülserasyonlar % 97.45-100,

Genital ülserasyon % 76-96.4,

Patergi pozitifliği % 42-82

Eritema nodozum benzeri lezyon % 22-67.1,

Göz tutulum bulguları % 28.9-54.77

Damarsal tutulum bulguları % 11-32.1,

Nörolojik tutulum sıklığı % 2.2-25.64,

Eklem tutulumu % 15.9-73.5 ve

Pulmoner tutulum sıklığı % 0.63-4 arasında bildirilmiştir(8)

3. Patogenez

Hastalığın etiyolojisi bilinmemektedir. Patogenezinde genetik, immünolojik, mikrobiik etmenler ve çevresel faktörlerin rol oynadığı bildirilmiştir (1, 2, 11).

3.1. Genetik Etmenler

Behçet hastalığında ailesel olguların görülmesi ve hastalığın bölgesel dağılım göstermesi patogenezde genetik faktörlerin etkili olabileceğini düşündürmektedir (12).

Behçet hastalığında ailevi olguların sıklığı % 4-17 arasında bildirilmektedir. Türkiye' de yapılan bir çalışmada bu oran % 7.3 olarak bulunmuştur. Behçet hastalığı için konkordan klinik seyri olan monozigot bir ikiz bildirilmiştir(12- 13). Moleküler biyolojik ve genetik çalışmalarla, Behçet hastalığında HLA B51 ile kuvvetli birliktelik tanımlanmıştır (12).

3.2. İmmünregülasyon Değişiklikleri

Behçet hastalığında gözlenen multisistemik tutulumda immünolojik bozuklıkların rol olabileceğini düşündüren çok sayıda çalışma bulunmaktadır (14).

3.3. Hücresel İmmünite

Behçet hastalığında, hücresel immünitede çeşitli fenotipik ve işlevsel bozukluklar mevcuttur. Hastalıkın aktif döneminde periferik kan T hücrelerinin sağlıklı kontrollerden anlamlı düzeyde azaldığı gösterilmiştir. T hücre alt gruplarından CD8(+) hücrelerinde hafif bir artış ile CD4(+) hücrelerinde hafif bir azalma saptanmıştır. Baskılayıcı T hücrelerinde artış olmakla birlikte, çalışmalar, baskılayıcı hücre fonksiyonlarında defekt olduğunu ortaya çıkarmıştır (15).

3.4. Humoral İmmünite

Behçet hastalarında genellikle poliklonal olarak immunglobulin düzeylerinde artış saptanmaktadır. Uveitli olgularda uveit gelişmeden önce kompleman düzeyinde düşüş saptandığını belirten çalışmalar olmakla birlikte, genel olarak Behçet hastalarında kompleman düzeyleri artmış bulunmaktadır.

Behçet hastalarının % 44-60'ında IgG, IgM, IgA tipi immün kompleksler bulunmaktadır. Ancak bu immün kompleksler belli bir antijene özgün olmayıp heterojen yapıdadırlar (16).

3.5. Mikrobiyal Etmenler

Behçet hastalığında viral ve bakteriyel çok sayıda etmenin rolü araştırılmıştır (17). HSV' nin yeri hastalığı doğrudan oluşturmazsanın çok T hücre immün regülasyonuna olan etkisi ile açıklanmaktadır (17, 18, 19).

Streptokokkus sanguis' in oral aftların nedeni olabileceği ileri sürülmüş, ancak organizmanın prevalansı ve immün yanıtlarının normal populasyondan farklı kesin olarak ortaya konamamıştır. *Helicobacter pylori'* nin Behçet hastalığı bulunan olgularda büyük oranda belirlendiği ve eradikasyon tedavisinden sonra oral ve genital aftların çap ve sayılarında anlamlı azalma olduğu bildirilmiştir (17, 20, 21).

Yapılan çalışmalarda hepatit C virus enfeksiyonu ve Behçet hastalığı birlikteliğinin olabileceği bildirilmiştir. Daha önceki yıllarda hepatit A ve B ile yapılan bir çalışmada birliktelik saptanmamıştır (21,22).

3.6. Stres Proteinleri

Stres veya ısı şok proteinleri, mikroorganizmalarda ve hayvan dokularında bulunan immünreaktif proteinlerdir. Isıya ek olarak anoksi, ağır metal iyonları, hidrojen peroksit, DNA ve RNA virüsleri ile olan enfeksiyonlarda ısı şok proteinleri artmaktadır. Bu maddeler mikrobiyal抗原ler ile benzerlik göstermesi nedeniyle otoimmün pek çok hastalığın gelişmesine neden olabileceği bildirilmektedir (23, 24, 25).

4. Behçet Hastalığı'nın Tanısı

Behçet hastalığının tanısında kullanılan iki ayrı tanı kriterleri mevcuttur. Japonya Behçet Sendromu Araştırma Komitesi'nin kriterlerine göre (Tablo 1) tanı komplet (4 majör kriter), incomplet (3 majör kriter, ya da 2 majör + 2 minör, ya da tipik göz semptomları+ 1 majör ya da 2 minor kriter) ya da şüpheli (2 majör kriter ya da 1 majör + 2 minör) olmak üzere üçe ayrılmaktadır.

Tablo 1. Japonya Behçet Sendromu Araştırma Komitesi'nin 1987 yılında oral muköz membranlarının majör tekrarlayıcı aftöz ülserasyonları ile revize ettiği tanı kriterleri.

Majör	Oral tekrarlayıcı aftalar Deri lezyonları Erythema nodosum Subkütan tromboflebit Follikülit, akne benzeri lezyonlar Kütanöz hipersensitivite Göz lezyonları İridosiklit Korioretinit Kesin korioretinit ya da retinoüveit öyküsü Genital ülserler
Minör	Deformite ve ankiloz bulunmayan artrit İleoçekal ülserlerde karakterize gastrointestinal lezyonlar Epididimit Vasküler lezyonlar Santral sinir sistemi bulguları

Tanıda pek çok protokol olmakla birlikte, üç majör veya 2 majör iki minör bulgu ile birlikte paterji testi pozitifliği çoğu araştırmacı tarafından yeterli sayılmaktadır. Epidemiyolojik, laboratuar, klinik veya terapötik çalışmalarda; hastanın hangi grupta yer aldığıının belirlenmesi açısından, uluslararası sınıflama kriterleri oluşturulmuştur (26, 27) (Tablo 2).

Tablo 2. Behçet hastalığının sınıflamasında uluslararası tanı kriterleri (1990).

Tekrarlayan oral ülserler	<ul style="list-style-type: none"> • Minör aftöz • Bir hekim tarafından gözlemlenen ya da hasta tarafından güvenilir şekilde bildirilen majör aftöz ya da herpetiform ülserasyon • Bir yıl içerisinde en az 3 kez tekrarlama ve aşağıdakilerden ikisi
Tekrarlayan genital ülserler	<ul style="list-style-type: none"> • Bir hekim tarafından gözlemlenen ya da hasta tarafından güvenilir şekilde bildirilen tekrarlayıcı genital aftöz ülserasyon veya skar oluşumu
Göz lezyonları	<ul style="list-style-type: none"> • Anterior üveit • Posterior üveit • Göz muayenesinde vitröz sıvıda hücre görülmesi • Bir göz hekimi tarafından saptanan retinal vaskülit
Deri lezyonları	<ul style="list-style-type: none"> • Bir hekim tarafından gözlemlenen ya da hasta tarafından güvenilir şekilde bildirilen eritema nodosum benzeri lezyonlar • Psödofollikülit • Papulopüstüler lezyonlar ya da • Bir hekim tarafından gözlemlenen kortikosteroid kullanmayan postadölesan hastalarda Behçet hastalığı ile uyumlu akneiform nodüller
Pozitif Paterji testi	<ul style="list-style-type: none"> • Derinin avasküler bir kısmına oblik olarak sokulan 20-22 G steril iğnenin giriş yerinde oluşan ve bir hekim tarafından gözlemlenen 2 mm'den büyük eritroz papül

5. Vasküler Sistem Tutulum Bulguları

Damarsal tutulum bulguları % 7-60 arasında değişkenlik göstermektedir (8). Olgularda arteriyel ve venöz obstrüksiyon, anevrizma gelişimi izlendiği ve venöz tutulumun arteriyel tutulumdan daha sık izlendiği bildirilmektedir.

Hastaların % 20-40'ında yüzeyel tromboflebit ve derin ven trombozu şeklinde ven tutulumu görülmektedir. En sık yüzeyel tromboflebite rastlanılmaktadır. Ven tikanlığı en sık bacak venlerinde, daha az sıklıkla vena cava inferior ve superior, dural sinüsler, vena aksillaris, vena hepatika, vena porta ve diğer venlerde görülebilir. Genellikle hastlığın ilk 5 yılında görülür ve % 7 oranında hastlığın ilk bulgusu olabileceği bildirilmiştir. Vena cava superior ve inferior tikanması sonucu vena cava sendromu, vena hepatika tikanması sonucu Budd-Chiari sendromu ve serebral ven tikanıklıkları sonucu başağrısı, görme bozuklukları ve papilla ödemi gibi nörolojik bulgular görülmektedir (28- 29).

Bir başka çalışmada vasküler tutulumda en kritik periyodun ilk 2 yıl olduğu belirtilmiştir. Ortalama vasküler tutulum yaşı 35 olarak bildirilmiştir. Bir başka çalışmada vasküler tutulumun erkek hastalarda (5,6:1) daha sık olduğu belirtilmiştir (30).

Behçet hastlığında arteriyel tutulum sıklığı değişik çalışmalarda % 1-3.5 arasında bildirilmiştir. En sık aort olmak üzere pulmoner arterler, femoral, popliteal, subklavian ve karotis arterleri tutulabilir. Arter tutulumu anevrizma ve arter tikanması şeklindedir.

Behçet hastlığında büyük damarlardaki anevrizma ve rüptürler en önemli ölüm nedenleri arasındadır. Arter tikanmalarının kliniği, tikanan arterin distalindeki iskemiye bağlıdır. Behçet hastlığı pulmoner arter anevrizmasına yol açan tek vaskülittir. Anevrizma sıklıkla iki taraflı ve çok sayıdadır (31).

Pulmoner arter vaskülitine bağlı komplikasyonlar komşu bronşiyal erozyon ile birlikte anevrizma formasyonu, arteriyel ve venöz tromboz ve pulmoner enfarkttır. Anevrizmanın parankim içine kanaması ile pulmoner hemoraji ve fibrozis ile iyileşme, bronşial lumen içine kanama ile hemoptizi olup Behçet hastlığında major ölüm nedenlerinden biridir. Anevrizmalar tek veya multiple olabilir. (31). Damar tutulumuna yönelik çalışmalar kesin sonuçlara ulaşmamıştır.

30 olgunu içeren bir çalışmada serbest protein S'de ve protein S aktivitesinde anlamlı düşüklük belirlenmiştir (1).

Histopatolojik görünüm vaskülittir. Aktif dönemde özellikle media ve adventisyada nötrofil ve lenfositten zengin yoğun iltihabi hücre infiltrasyonu ve daha ileri dönemde elastik liflerde azalma, intima ve adventisyada fibröz kalınlaşma ve vasa vazorumlarının tikanması görülür (1).

6.Üriner Sistem Tutulum Bulguları

Behçet hastalığında renal tutulum değişik çalışmalararda % 0-55 arasında bildirilmiştir. Bu konuda renal tutulum varlığı ve tipi konusunda oldukça değişken veriler elde edilmiştir. Erkek cinsiyeti tüm renal problemlerde risk faktörü olarak belirlenmiştir.

Nefrotik sendrom renal amiloidozlu hastalarda % 83 oranında görülmüş olup tanı anında renal yetmezlik sık görülmektedir. Behçet tanısını aldiktan sonra renal amiloidoz görülme süresi erkeklerde daha kısalıdır.

Amiloidoz görülen hastalarda AA tipi amiloidoz fibrilleri görülmektedir. Amiloidozlu hastalarda vasküler tutulum sık görülmektedir (%60). Glomerülonefritli hastalarda renal tutulum asemptomatik proteinürü'den Hızlı İlerleyen Glomerülonefrit'e dek geniş bir spektrum göstermektedir. Sık görülen glomerülonefritler kresentik proliferatif ve Ig A nefritidir. Renal arter anevrizma veya stenozu olan hastalarda hipertansiyon sık karşılaşılan bir klinik bulgudur.

Renal amiloidoz varlığı прогнозunu etkileyen önemli bir faktör olup renovasküler hastalık varlığında amiloidoz riski artmaktadır. Behçet hastalığı ve renal tutulumu olan 159 hastadan oluşan bir çalışmada 69 hastada amiloidoz, 51 hastada glomerülonefritis, 12 hastada renal arter anevrizması, 12 hastada renal arter stenozu veya oklüzyonu 7 hastada renal ven trombozu 4 hastada mikrovasküler hastalık ve 4 hastada interstiyel nefrit bulunmuştur (32).

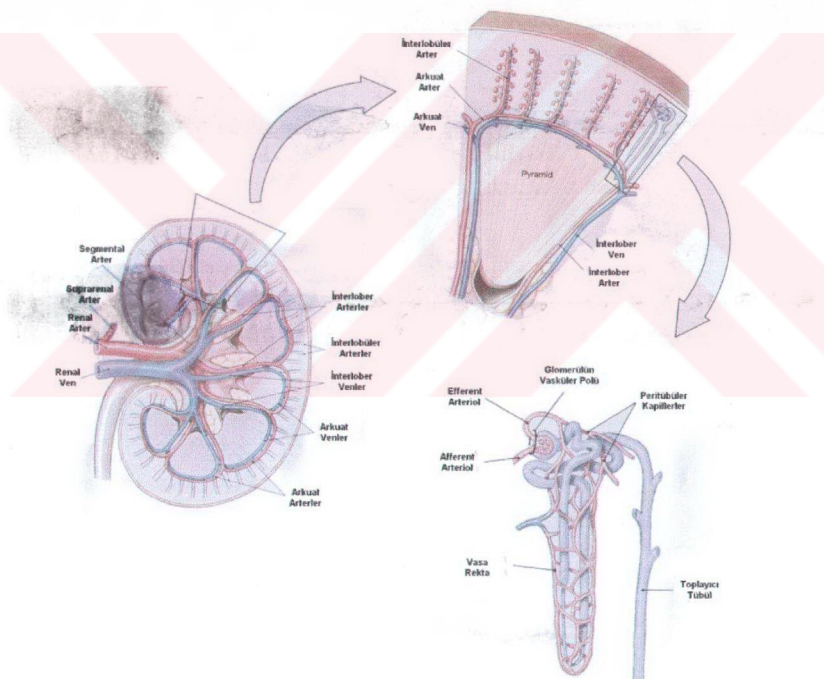
7. Seyir ve Prognoz

Behçet hastalığı atak ve remisyonlarla seyreden bir hastalıktır. Ne atakların, ne de remisyonların süresi önceden tahmin edilememektedir. Serebellar ve spinal kord lezyonları bulunduğuanda, santral sinir sisteminde tekrarlayan ataklar geliştiğinde hızlı seyirle fatal sonlanabilmektedir (1, 33).

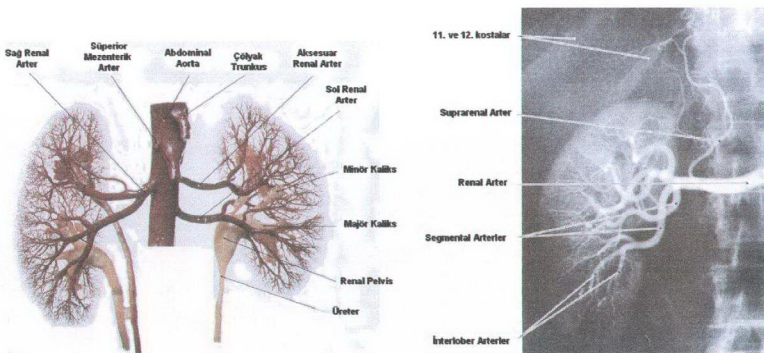
Bir çalışmada kronik nörolojik tutulumu olan hastaların % 20' sinin 7 yıl içinde öldüğü bildirilmiştir (34). Mortalite oranı % 2-4 olup pulmoner ve santral sinir sistemi kanamalarına veya barsak perforasyonuna bağlı olarak gelişmektedir. Ancak oküler tutulumda morbidite yükselmektedir. Yine tedavide kullanılan ilaçlara bağlı gelişen yan etkiler de morbidite ve mortaliteyi etkilemektedir (1, 2, 4, 33).

8. Böbrek Arterlerinin Anatomisi

Aorta'dan çıkan ana renal arterler böbrek hilusuna girdikten sonra büyük bir ön ve daha küçük olan arka dala ayrılırlar. Arka dal, arka segmenti beslemek için böbreğin arka yüzünde seyredenken ön dal böbreğin birçok segmentine besleyici dallar verir. Ön ve arka dallardan segment arterleri çıkar. Bunlardan her biri renal piramid sınırı boyunca uzanan interlober arterlere ayrırlar. İnterlober arterler kortikmedüller sınırda dik açı halinde dönerken arkuat arterleri verirler. Arkuat arterler böbrek yüzeyine paralel olarak korteks ve medulla arasında yerleşmiştir. Arkuat arterlerden kortekse doğru ilerleyen çok sayıda interlobuler arterler çıkar. Bunlar birbirile anastomoz yapmazlar. İnterlobuler arterlerden glomerüler kapiller yumaga ait afferent arterioller doğar ve kapiller yumaktan çıkan efferent arterioller tubulusların çevresinde peritubuler kapiller plexusu oluşturur (Resim 1, 2) (35).



Resim 1. Böbrek arterlerinin ve glomerüllerin görünümü



Resim 2. Böbrek arterlerinin morfolojik ve anjiografik görünümü

9. Renal USG

9.1 Gri Skala İnceleme

Genitüriner sistem sonografik incelemede başarı birçok faktöre bağlıdır. Bunlar hastanın obez olup olmaması, abdominal gaz varlığı, vücut durumu, operatörün tecrübe ve ekipmanıdır. İncelemeden önce hasta barsak gazını sınırlamak amacıyla en az 6 saat aç kalmalıdır. Yüksek rezolüsyonlu ve gerçek zamanlı sektör tarayıcılar kullanılmalıdır.. Böbrek inceleme transvers ve koronal planda olmalıdır. Genellikle subkostal ve interkostal yaklaşım kombinasyonu özellikle sol böbrek üst pol incelemede gereklidir (36).

Gri skala US birçok renal patolojinin tanı algoritmindede ilk sırada kullanılan, önemli anatominik ve yapısal bilgiler sağlayan invazif olmayan görüntüleme yöntemidir. Böbreklerin yerleşimlerinin belirlenmesi, boyutlarının ve parankim kalınlığının ölçülmesi, parankim eko ve kontur özellikleri, toplayıcı sistem genişlemeleri ve yer kaplayıcı lezyonların gösterilmesi, konvansiyonel US ile saptanan önemli özelliklerdir. Bununla birlikte gri skala US ile fizyolojik bilgiler elde edilememektedir.



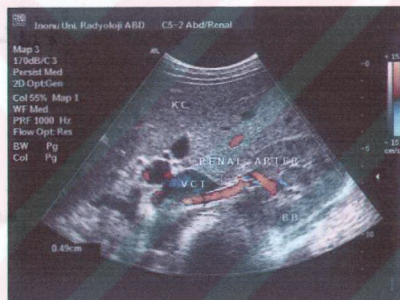
Resim 3. Gri skala böbrek USG görünümü

9.2. Doppler İnceleme

Renkli doppler inceleme ile normal renal arterlerde homojen, laminar akım örneği izlenir. Stenoz varlığında laminer akım örneği ve homojen renk deseni bozulur. Değişik hız ve yönlerde hareket ederek küçük girdaplar oluşturan eritrositler, türbülən akıma yol açar. Spektral genişleme ve renk saçılması olur. Ana renal arterin görüntülenmesi, uzun inceleme zamanı gerektirmektedir. Diğer dezavantajları barsak gaz içeriğinin arterin görüntülenmesini engellemesi, obez hastalarda yeterli ses penetrasyonunun sağlanamaması ve hastanın soluğunu tutamamasına bağlı olarak uygun hız ölçümlerinin yapılamaması sayılabilir. Bu faktörlere bağlı olarak uygulayıcının deneyimi ve becerisine göre başarı oranının değişmesi en önemli sınırlamasıdır (38).

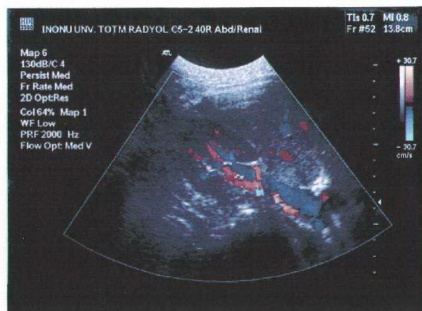
Renal arterin direkt inceleme ile değerlendirilmesinde değişik oranlarda duyarlılık ve özgüllük bildirilmiştir (Duyarlılık %71-98, özgüllük 62-99 arasında değişen oranlarda) (39).

Küçük intrarenal arterlerin doppler USG incelemesi teknik olarak zor olmamakla birlikte doğru bilgi elde edilmesi için görüntüleme tekniğinin iyi uygulanmasını gerektirir (40).



Resim 4. Renal arterin aort çıkışından renal hilusa dek renkli doppler görünümü

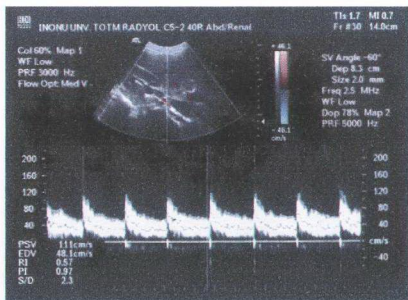
Görüntülemelerin çoğunda 2.5 – 5 MHz arasında probalar kullanılmaktadır. Akım açısından kontrol edilecek doku volumünü oluşturan doppler örneklem 2-5 mm arasında seçilmelidir. Alınacak hız ve debi ölçümlerinin vasküler yapının hemodinamisini yansıtılabilmesi için, damar duvarı sınırlarında kalmak şartı ile örnek volüm olabildiğince geniş tutulmalıdır. Ölçümler renal arterler direkt olarak görüntülenemiyorsa, medüller piramitlerin sınırları boyunca uzanan interlober arterler ve kortikomedüller bileşkedeki arkuat arterlerden yapılmaktadır (40).



Resim 5. Renal arter ve venin renkli doppler görünümü

Daha önceki çalışmaların birçoğu bu lokalizasyonda yoğunlaşmıştır. Bu küçük intrarenal arterler düşük doppler frekansı kayması gösteren düşük akım hızları ile karakterizedir. Bu düşük hızları saptamak için cihazın duvarfiltresi mümkün olduğunda düşük değerlere ayarlanmalıdır. Daha önemlisi uygun hız/fréqنس kayma skalasının kullanılmalıdır. Optimal olarak doppler frekansı aliasing artefaktına yola açmayan en düşük frekans seviyelerine (pulse repetition frequency : PRF) göre ayarlanmalıdır. Bu ayarlanmalarla düşük akım hızları başarılı bir şekilde elde edilebilir ve akım spektrumu skalanın hemen tamamını doldurur. Böylece spektral ölçümeler sırasında daha az hata yapılması sağlanır. Ardisık 3 ile 5 benzer dalga formunun elde edilmesi durumunda spektrum optimal olarak değerlendirilir (41).

Renal arter stenozu olanlarda intrarenal arteriyel vasküler yataktaki indirekt (İnterlobar arterlerde RI ve renal arterde reno aortik oran değerlerinde artış) doppler US bulgularının saptanabileceği bildirilmiştir. Ana renal arterlerin değerlendirilmesinde yaşanan güçlükler nedeniyle indirekt değerlendirme gün geçtikçe popüler hale gelmektedir. Intrarenal arter dallarının spektral değerlendirilmesi segmenter ve daha yaygın olarak interlobar arterler düzeyinden yapılmaktadır. Genellikle 3.5 MHz'lık probalar kullanılmaktadır. Lateral interkostal yaklaşım sıklıkla tercih edilen pozisyondur (40, 41).



Resim 6. Renal artere ait renkli doppler ve spektral inceleme

İntrarenal parametreler, genel kanının aksine Doppler açısına bağlı değişiklikler gösterdiğiinden uygun minimal açı kullanılmalıdır. Uygun açıda (60 derecenin altında) değişik noktalardan hız değerleri alınmalıdır. İnterlobar ya da segmental dallardan olmak üzere böbreğin üst, orta ve alt kesiminden akım örnekleri alınır (42).

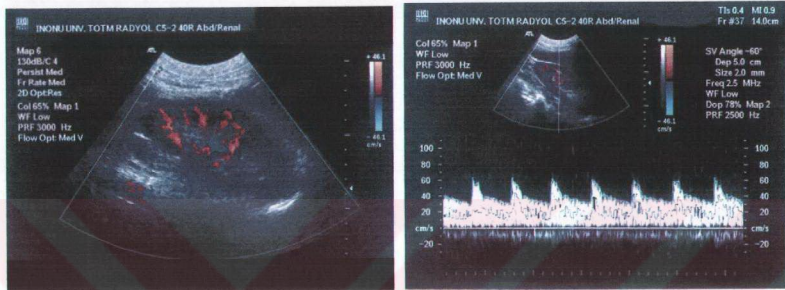
Normal böbrek vasküler yatağı diastolde akımın sürekli olabilmesi için kan akımına düşük dirençle karakterizedir. Normal renal arter akım özelliklerini

- Sistol sonunda alçak ve çok keskin olmayan pik yapan göreceli olarak düşük pulsatilit
- Renal damar yatağının düşük rezistansına bağlı tüm diastolde sürekli akım görülmesi
- Distal intrarenal dallarda düşük pulsatilit paterni ile sistol ve diastol sırasında azalmış genlik.

Böbreklerde akıma karşı rezistanstaki artışlar sistol akım ile kıyaslandığında diastolik akımda göreceli bir azalma ile sonuçlanırlar. Dolayısı ile RI,PI,S/D rezistans artımına bağlı olarak yükselirler. Normal böbreklerde böbrek rezistans değerlerinin belirlenmesi için literatürde yayınlanmış bir çok çalışma mevcuttur. 109 normal böbrekte yapılan seride RI değeri, 0.58 ± 0.05 bulunmuştur. Daha küçük iki seride bu değerler sırasıyla 0.64 ± 0.05 (21 hastayı içeren çalışma) 0.58 ± 0.04 (15 hastayı içeren çalışma) olarak bildirilmiştir (43- 44).

Yapılan bu çalışmalarında normal intrarenal RI değerinin kabul edilebilir üst sınırı 0.7 olarak belirlenmiştir. Pulsatilit indeksi daha az araştırılmış olup, 50 normal erişkinde yapılan bir çalışmada ortalama PI değeri 1.15 ± 0.159 olarak bulunmuştur. PI değeri için daha geniş bir aralık bulunmakla birlikte, bu çalışmada PI'nin üst limitinin % 95 güvenilirlikle 1.309 olduğu bildirilmiştir (45).

Normal intrarenal arteriyel dalların Doppler spektrumu, düşük impedanslı akıma bağlı olarak hem sistol, hem de diastolde ileri yönlü akım gösterir. Diastolik hız sistolik akım hızının yaklaşık 1/3'ü düzeyindedir Uç dallara gidişdikçe hem sistolik hem de diastolik akım hızları aynı oranda azalır ve ana renal arterin minyatürü gibidir. Akımın sistolik komponenti, erken ve geç olarak adlandırılan iki ayrı pik yapar ve arada dar bir çentik bulunur. İkinci sistolik pik birinci pikten daha yüksek, eşit ya da daha düşük hızda olabilmektedir. Birinci pik daha sivri görünümdedir. İkinci pik genellikle daha geniş alana yayılır. (46).



Resim 7. İnterlober arterlerin renkli doppler görüntümeli ve spektral inceleme

Hemodinamik olarak anlamlı arteriyel stenoz varlığında, distal arter dallarının akım formlarında Doppler US ile “ parvus et tardus” akım formu saptanır. Bu terim düşük amplitüdü, gecikmiş sistolik akselerasyonlu akım formunu tanımlamakta ve fizik muayenedeki aortik kapak stenozunda görülen nabız çeşidini andırmaktadır. Tardus gecikmiş ve uzamiş erken sistolik akselerasyonu, parvus ise düşük şiddette ve yuvarlaklışmış sistolik piki temsil etmektedir.

Stavros, intrarenal arteriyel dalların akım formunda görsel değişiklikler de bulunacağını ifade etmiş ve erken sistolik pik (ESP) kaybının renal arter stenozu varlığında en iyi intrarenal parametre olduğunu ileri sürmüş ve ESP kaybında RAS (%60 den daha fazla arter çapında daralma) için doğruluk oranını %96, duyarlılığını %95, özgüllüğünü %97 olarak saptamıştır. RI değeri yüksek böbreklerde de ESP ikinci sistolik pike göre daha yüksektir. Kliwer ve grubu, bu indeks değişikliklerinin ancak ciddi stenoz varlığında (%80-90) oluştuğunu, %50 ve üzerindeki her stenozlu olguda görülmeyeceği ve akım formlarının morfolojik yorumunun başarısızlığını vurgulamıştır. Halpern ise çalışmasında vizuel değerlendirmeyi başarısız bulmuş ve en iyi intrarenal testin erken sistolik akselerasyon olduğunu söylemiştir (44).

Belirtilen tüm bu değerlere rağmen normal bir RI ve PI sınırlarını tanımlamak çok zordur. Çünkü normal böbrek durumunun altın standartlarının saptanmasında kısıtlamalar bulunmaktadır. Sadece öykü ile böbrek disfonksiyonu yeterince değerlendiremez. Bulgular minimal veya non spesifik olabilir. Kreatinin seviyesinin normal sınırlarda bulunması genelde böbrek fonksyonun normal olduğunu göstermekle birlikte, Becker'in bir çalışmasında serum kreatinin seviyelerinde yükselme olmaksızın renal fonksiyonlarda % 50 lere varan kayıp olabileceği bildirilmiştir (44). Bu nedenle hafif veya erken renal hastalık için kreatinin seviyesi güvenilir değildir. Normal kreatinin seviyelerin karşın, renal hastalıklarda RI ölçümleri artmış (> 0.70) vasküler direncin erken bir belirtisi olabilir (43).

Renal hastalık dışında bazı durumlar da RI'yi etkileyebilir. Belirgin hipotansiyon, çok belirgin olarak azalmış kalp hızı ve perinefritik veya subkapsuler sıvı birikimi RI'yi yükseltebilir (45, 46, 47). Bunun yanında özellikle yeni doğanlarda erişkinlerden daha yüksek RI değeri bulunabilir. Pediatrik renal vasküler direncin yetişkinlerden farkının belirlenmesi konusunda henüz kesin tanımlamalar getirilmemiştir (45).

Yaşlanmanın da normal olgularda RI'yi değiştirebildiği bildirilmiştir. Bununla birlikte bu yükselme sıklıkla yaşlı böbrekte kandaki azot türevlerinin yansımadığı gerçek fonksiyon kaybunu da gösteriyor olabilir.

Genel olarak poststenotik böbrekte intrarenal rezistivite indeksi (RI), normal böbreğe göre düşüktür. (RI : PİK sistolik hız- diastol sonu hız / pİK sistolik hız). Schwerk, stenotik renal arter ile diğer renal arter spektral incelemesinde RI farkı bulunduğu tespit etmiştir. Rezistivite indeksi farkı (RIF) : İpsilateral RI - kontralateral RI olarak ifade edilmiştir. Anlamlı RSA varlığında bu fark 0.05'e eşit ya da küçük olmalıdır. Aynı zamanda RIF'ının %50-80 arası stenoz derecelendirilmesinde kullanılabileceği de öne sürülmüştür. Buna karşılık RI değerleri sadece hemodinamik değişikliklerden değil, aynı zamanda arteriyol tonusunu etkileyen diğer olaylardan da (vazomotor aktivite, vazoaktif ilaçlar, mikroanjiopati ve akut, kronik böbrek hastalıkları) etkilenmektedir. Bu değişiklikler aynı zamanda intrarenal akım formlarını da etkilemektedir. RI arttıkça AI artmada ve AT azalmaktadır. Genel olarak yüksek RI, ikinci sistolik komponente göre daha yüksek oranda ESP'ye neden olmaktadır (44, 48).

Bununla birlikte Özbek, çalışmasında stenotik ve normal olgularda istatistiksel olarak RIF'ının anlamlı olmadığını belirtmektedir. Öte yandan stenotik olgularda RI değerlerinin, normal bireylere göre hafif yüksek olduğunu bulmuştur. Tahmin edileceği üzere RIF bilateral RAS olgularında daha az yararlı olmaktadır. Bilateral stenotik olgularda RI simetrik ve bilateral olarak düşüktür.

İndirekt renal arter incelemesinde yalancı pozitif hastalar genellikle teknik nedenlerden kaynaklanmaktadır. Ayrıca renal arter proksimalindeki obstruktif lezyonlarda yalancı pozitifleğe neden olmaktadır. Subaortik veya valvular stenoz, aortik stenoz ya da disseksiyon, aort koarktasyonu örnek olarak gösterilebilir. Tüm bu patolojiler tardus-parvus akım formu değişikliklerine neden olmaktadır. Eğer bu değişiklikler her iki böbrekte görülsürse renal arter proksimalindeki patolojiler de göz önünde bulundurulmalıdır (48).

PI ve RI yi değiştiren ana faktörler Tablo 3 de gösterilmiştir.

Tablo 3. PI ve RI yi değiştiren ana faktörler

Arıtılmış Renovasküler Rezistans	Azaltılmış Renovasküler Rezistans
<ul style="list-style-type: none"> • Akut – Kronik böbrek yetmezliği • Esansiyel hipertansiyon • Obstrüktif böbrek hastalıkları • Akut renal ven trombozu • Hipertansif nefropati • Pro bun aşırı kompresyonu • Aort rejurjitosyonu • Hipotansiyon • Azaltılmış aortik genişleyebilirlik • İnfantlar • Renal arter stenозу • -- Subkapsuler perinefritik hematom 	<ul style="list-style-type: none"> • Vazodilatör tedavi • Arteriovenöz fistül • Artmış kalp hızı

Ana renal arter incelemesi ortalama 1 saatlik süre almasına rağmen, translomber yaklaşımla interlober arterlerin görüntülemesi için yaklaşık 20 dakika yetmektedir. Teknik başarısızlık oranı daha düşüktür. Martin, başarısızlık oranını %1.5 olarak bildirmiştir . Hastanının nefesini tutamaması başlıca teknik zorluk nedenidir.

Intrarenal akım formlarının incelenmesi, tüm böbrekten örneklemeye yapılmasıyla, aksesuar renal arter stenozunun saptanabilmesine de olanak sağlamaktadır.

Bu yöntemde bir takım problemler henüz çözülmemiştir. Oklüzyonun, ciddi stenozdan ayırmayı mümkün değildir. Çocuklarda abdominal koarktasyon olgularında, poststenotik akım formu ciddi renal arter stenozunu taklit edebilmektedir. Öte yandan ekstrarenal faktörler (örneğin aortik ve mitral kapak hastalıkları, sol ventrikül disfonksiyonu) sistolik akselerasyonu etkileyebilmektedir (49).

İndirekt Doppler incelemesinde parametrelerin standarta oturtulması gerekmektedir. Günümüzde renk moduyla damar trasesi görülecek doğru açı verilebilmektedir. Bu da akselerasyon ölçümlerinin doğruluğunu artırmaktadır. Akselerasyon ve akselerasyon zamanı parametreleri rölatif objektif parametreler olmasına rağmen, ölçümden erken sistolik akselerasyonun son noktasının belirlenmesi tartışmalıdır. Bu nokta çoğu zaman tam olarak tanımlanamamaktadır. Öyle ki aynı sistolik pikin ölçümleri tekrar ölçümlerde farklılık gösterebilmektedir. Farklı uygulayıcılarla da değişik sonuçlar alınmaktadır. Öte yandan akım formlarının morfolojik yorumu daha çok değişkenlik göstermektedir. Bütün bunlar olumsuzluklar Stavros ve arkadaşlarının belirttiği üzere uygun Doppler tekniği kullanılarak minimal düzeye indirgenebilmektedir.

Kontrastlı bilgisayarlı tomografi (BT) ve intravenöz ürografi (IVÜ) ile böbrek fonksiyonları hakkında kabaca bilgi sahibi olunur. Son yıllarda çok hassas fonksiyonel değerlendirmeler yapabilen tanışal yöntemler geliştirilmiştir. Dinamik BT, bilgisayarlı tek foton emisyon tomografisi, pozitron emisyon tomografi ve magnitik rezonans görüntüleme (MRG) bu amaçla kullanılmaktadır. Bununla birlikte yöntemlerin kolay uygulanamaması, mobilizasyon sorunu ve invaziv olmaları söz konusudur. Tanışal US teknolojisindeki gelişmelerle renkli doppler US ile kan akımı değerlendirilerek hemodinamik veriler elde edilebilmektedir.

Böbreklere yönelik ilk doppler US uygulamaları böbrek nakli yapılan hastaların değerlendirilmesi, renovasküler hipertansiyon düşündürilen olgularda renal arter stenozu (RAS) araştırılması ve renal ven trombozu (RVT) hastalarıdır(41,45,49).

Doppler Dalga Analizi :

Yapılan çalışmalarında birçok patolojik tablonun distal renal arter dallarında rezistans değişikliği yaptığı belirtilmiştir (44). Doppler eşitliğine göre insonasyon açısı doppler kaymasını önemli derecede etkilemektedir. İntrarenal arterler, genellikle 3 mm' den daha küçük kalibrasyondadır. Bu nedenle vasküler yapıların akım yönleri, uygun insonasyon açısıyla değerlendirme (40-60) yapılmasına olanak verecek netlikte ayırt edilemez. Bu durum açıya bağımlı olarak değişen hız değerlerini etkilemeyecektir ve sağlıklı sonuçlar elde edilmesini önemlidir (50).

1. Pik sistolik akım hızı (Peak systolic velocity): Sistol sırasında ölçülen en yüksek kan akım hızı değeri
2. Diastol sonu akım hızı (End diastolic velocity): Diastol sonunda elde edilen kan akım hızı değeri
3. Ortalama akım hızı : Belli bir zaman aralığında ortalama akım hızı (Time average mean velocity = TAM)

$$\text{PSV} - \text{EDV}$$

$$4. \text{ Rezistif indeks (Pourcelot indeksi)} = \frac{\text{PSV}}{\text{PSV} - \text{EDV}}$$

$$5. \text{ Pulsatilite indeksi} = \frac{\text{TAM}}{\text{PSV} - \text{EDV}}$$

6. Akselerasyon zamanı (Acceleration time = AT) = Sistol başından pik sistolik hız oluşana dek geçen süre.

$$7. \text{ Sistol / Diastol oranı} = \frac{\text{PSV}}{\text{EDV}}$$

GEREÇ ve YÖNTEM

Haziran 2001 ile Mayis 2002 tarihleri arasında İnönü Üniversitesi Turgut Özal Tıp Merkezi Göz Hastalıkları ve Dermatoloji Anabilim Dallarında Behçet hastalığı tanısı ile takip edilen 32 hasta ve karşılaştırma amacı ile aynı yaş ve cinsiyette 32 gönüllüden oluşan kontrol grubu çalışmaya alındı. Her iki grup 18 erkek ve 14 kadından oluşmaktadır.

Behçet hastalığı tanısında Uluslararası Tanı Kriterleri kullanıldı. Hastalık süresi 1 ile 20 yıl arasında değişmektedir(ortalama: 8,5 yıl).

Hasta ve kontrollere işlem anlatılıp izinleri alındıktan sonra çalışmaya dahil edildi. Hasta ve kontrol grubunda biokimyasal parametreler olarak albumin, BUN ve kreatinin ve idrar protein değerleri bakıldı. Proteinüri varlığı spot idrarda 30 mg/dl veya 24 saatlik idrarda 150 ml sınır değer kabul edilerek değerlendirildi.

Sonografik inceleme 8 saatlik açılıktan sonra yapıldı. İnceleme hasta sırtüstü pozisyonda ve derin inspiryum sonrası nefes tutturularak yapıldı. İncelemede ATL HDI 5000 Doppler cihazında (Bothell WA, USA) 3.5 MHz lik sektör proba yapıldı. Cihazın filtre ve gain ayarları artefakt oluşturmadan, en ayrıntılı bilgi elde edilecek şekilde düzenlendi. Gri skala USG ile her iki böbreğin kontur, parankim yapısı, ekojenitesi ve boyutları değerlendirildi. Olgu supin pozisyonda iken her iki böbreğin sagittal planda en uzun iki boyutu ölçüldü. Ortalama parankim kalınlıkları not edildi. Doppler inceleme her iki renal arterin proksimal kesiminden (aort çıkışından itibaren ilk 2 cm) ve interlober arterlerden yapıldı. Her iki renal arterin proksimal kesimde çapı ölçüldü. Örneklemeye penceresi damar çapının tamamını kaplayacak şekilde darnın merkezine yerleştirildi. Ölçüm sırasında Doppler açısının 60 derecenin altında olmasına dikkat edildi. Her ölçüm sırasında açı düzeltmesi yapıldı. Doppler parametreleri olarak PSV, EDV, TAM, S/D, RI, PI, AT ve ml/dk cinsinden debi değerlendirildi. Bu parametreler cihaz tarafından otomatik olarak hesaplandı. Aynı Doppler parametreleri interlober arterlerden de ölçüldü.

Behçet hastalığının böbrek tutulumunda cinsiyetin rolünü değerlendirmek amacıyla hasta ve kontrol grubunun erkek ve kadın üyelerinin karşılaştırılması yapıldı.

Behçet hastalığında hastalık süresinin böbrek tutulumuna katkısını değerlendirmek amacıyla Behçet hastaları grubu 1-6 yıldır hasta olanlar ve 7 yıldan daha uzun süredir tanısı olanlar olmak üzere 16 bireyden oluşan iki eşit gruba bölündü ve karşılaştırma aynı yaş grubundaki kontrol grubu ile yapıldı.

İstatistiksel incelemede SPSS for Windows 10,0 (Chicago, IL, USA) paket programı kullanıldı. Grupların normal dağılım gösterip göstermediğini saptamak amacıyla Kolmogorov Smirnow testi, grupların karşılaştırılması amacıyla Unpaired student's t testi kullanıldı. Analizde,

$p < 0,05$ değeri istatistiksel olarak anlamlı kabul edildi. Tablolarda ortalama değerler \pm standart sapma değerleri belirtildi.

BULGULAR

Çalışmaya dahil edilen 32 hastanın (14 kadın, 18 erkek) yaş ortalaması 34,88 (17-54) idi. Otuz iki sağlıklı kontrolün (14 kadın, 18 erkek) yaş ortalaması 34,69 (15-53) olup hasta ve kontrol grupları arasında yaş ve cinsiyet açısından istatistiksel olarak anlamlı fark bulunmadı.

Hasta ve kontrol grubunun albumin değerleri sırasıyla $4,3 \pm 0,3$ g/dl ve $4,4 \pm 0,5$ g/dl olarak bulundu. Her iki grup arasında istatistiksel olarak anlamlı fark bulunmadı ($p=0,7$).

Hasta ve kontrol grubunun BUN değerleri sırasıyla $12 \pm 1,5$ mg/dl ve $11 \pm 1,2$ mg/dl olarak bulundu. Her iki grup arasında istatistiksel olarak anlamlı fark bulunmadı ($p=0,23$).

Hasta ve kontrol grubunun kreatinin değerleri sırasıyla $0,8 \pm 0,004$ mg/dl ve $0,75 \pm 0,05$ olarak bulundu. Her iki grup arasında istatistiksel olarak anlamlı fark bulunmadı ($p=0,4$).

Tansiyon değerlerinin karşılaştırılmasında sistolik kan basıncı Behçet hastalarında daha yüksek olmasına karşın aradaki fark istatistiksel olarak anlamlı bulunmadı.

Hasta ve kontrol grubunda idrar protein değerleri normal sınırlarda idi. (Tablo 4.1.)

Tablo 4. Hasta ve kontrol grubuna ait klinik parametrelerin karşılaştırılması.

	Hasta (n=32)	Kontrol (n=32)	p
Yaş	34,88	34,69	0,95
Cinsiyet (E/K)	18 / 14	18 / 14	1
BUN (mg/dl)	$1,2 \pm 1,5$	$1,1 \pm 1,2$	0,23
Albumin (g/dl)	$4,3 \pm 0,3$	$4,4 \pm 0,5$	0,7
Kreatinin (mg/dl)	$0,8 \pm 0,04$	$0,75 \pm 0,05$	0,4
Sistolik basınç (mmHg)	$13,4 \pm 1,9$	$12,64 \pm 1,14$	0,06
Diastolik basınç (mmHg)	$7,7 \pm 0,66$	$8,06 \pm 0,94$	0,08
Proteinüri	0	0	

Hasta ve kontrol grubunda böbrek boyutları, ortalama parankim kalınlıkları, renal arter çapları ve RAO'ların karşılaştırılmasında;

Sağ böbrek ortalama uzun ekseni hasta ve kontrol gruplarında sırasıyla $100,88 \pm 8,89$ mm ve $103,06 \pm 13,48$ mm olup aradaki fark istatistiksel olarak anlamlı bulunmadı ($p=0,284$).

Sağ böbrek kısa eksenleri ortalaması hasta ve kontrol gruplarında sırasıyla $39,13 \pm 5,0$ mm ve $37,69 \pm 2,39$ mm olup aradaki fark istatistiksel olarak anlamlı bulunmadı ($p=0,150$).

Sol böbrek uzun eksenleri ortalaması hasta ve kontrol gruplarında sırasıyla $103,06 \pm 13,2$ mm ve $105 \pm 7,08$ mm olup aradaki fark istatistiksel olarak anlamlı bulunmadı. ($p=0,84$).

Sol böbrek uzun eksenleri ortalaması hasta ve kontrol gruplarında sırasıyla $42 \pm 4,66$ mm ve $39,78 \pm 3,28$ mm olup aradaki fark istatistiksel olarak anlamlı bulunmadı ($p=0,052$).

Sağ böbrek parankim kalınlığı ortalaması hasta ve kontrol gruplarında sırasıyla $12,5 \pm 1,64$ mm ve $12,8 \pm 1,03$ mm olup aradaki fark istatistiksel olarak anlamlı bulunmadı ($p=0,309$).

Sol böbrek parankim kalınlığı ortalaması hasta ve kontrol gruplarında sırasıyla $12,44 \pm 1,64$ mm ve $12,88 \pm 1,03$ mm olup aradaki fark istatistiksel olarak anlamlı bulunmadı ($p=0,207$).

Sağ renal arter çapı ortalaması hasta ve kontrol gruplarında sırasıyla $0,45 \pm 0,04$ mm ve $0,49 \pm 0,05$ mm olup aradaki fark istatistiksel olarak anlamlı bulundu ($p=0,001$).

Sağ RAO ortalaması hasta ve kontrol gruplarında sırasıyla $0,45 \pm 0,037$ mm ve $0,49 \pm 0,046$ mm olup aradaki fark istatistiksel olarak anlamlı bulundu ($p=0,001$).

Sağ RAO ortalaması hasta ve kontrol gruplarında sırasıyla $0,97 \pm 0,33$ ve $1,16 \pm 0,41$ olup aradaki fark istatistiksel olarak anlamlı bulunmadı ($p=0,052$).

Sol RAO ortalaması hasta ve kontrol gruplarında sırasıyla $1,02 \pm 0,4$ ve $1,0 \pm 0,2$ olup aradaki fark istatistiksel olarak anlamlı bulunmadı ($p=0,16$). (Tablo 5).

Tablo 5. Hasta ve kontrol grubunda böbrek boyutları, ortalama parankim kalınlığı renal arter çapları ve RAOların karşılaştırılması

Parametre	Hasta	Kontrol	P
Sağ böbrek uzun eksen	$100,88 \pm 8,89$	$103,06 \pm 13,48$	0,284
Sağ böbrek kısa eksen	$39,13 \pm 5,0$	$37,69 \pm 2,39$	0,15
Sol böbrek uzun eksen	$103,06 \pm 13,2$	$105 \pm 7,08$	0,84
Sol böbrek kısa eksen	$42 \pm 4,66$	$39,78 \pm 3,28$	0,052
Sağ ortalama parankim	$12,5 \pm 1,64$	$12,8 \pm 1,03$	0,309
Sol ortalama parankim	$12,44 \pm 1,64$	$12,88 \pm 1,03$	0,207
Sağ renal arter çapı	$0,45 \pm 0,04$	$0,49 \pm 0,05$	0,001
Sol renal arter çapı	$0,45 \pm 0,037$	$0,49 \pm 0,046$	0,001
Sağ RAO	$0,97 \pm 0,33$	$1,16 \pm 0,41$	0,052
Sol RAO	$1,02 \pm 0,40$	$1,0 \pm 0,2$	0,16

Sağ renal ve interlober arterlere ait Doppler parametrelerinin karşılaştırılmasında; Behçet hastaları ve kontrol grubu arasında istatistiksel olarak anlamlı fark bulunmadı (Tablo 6).

Tablo 6. Sağ renal ve interlober arterlere ait parametrelerin karşılaştırılması

Parametre		Behçet grubu	Kontrol grubu	P
Sağ renal	PSV	$91,64 \pm 23,4$	$101,83 \pm 24,2$	0,076
Sağ renal	EDV	$35,87 \pm 10,8$	$39,98 \pm 9,9$	0,09
Sağ renal	TAM	$29,23 \pm 10,2$	$32,59 \pm 10$	0,25
Sağ renal	S/D	$2,64 \pm 0,62$	$2,62 \pm 0,73$	0,82
Sağ renal	RI	$0,60 \pm 0,063$	$0,61 \pm 0,07$	0,85
Sağ renal	PI	$1,11 \pm 0,33$	$1,10 \pm 0,29$	0,38
Sağ renal	AT	$73,1 \pm 27,76$	$75,63 \pm 25,55$	0,71
Sağ interlober	PSV	$62,33 \pm 14,2$	$62,33 \pm 15,2$	1,00
Sağ interlober	EDV	$25,31 \pm 6,7$	$26,03 \pm 7,1$	0,65
Sağ interlober	TAM	$18,64 \pm 6,15$	$17,9 \pm 6,2$	0,67
Sağ interlober	S/D	$2,52 \pm 0,63$	$2,4 \pm 0,64$	0,39
Sağ interlober	RI	$0,59 \pm 0,08$	$0,59 \pm 0,05$	0,86
Sağ interlober	PI	$1,05 \pm 0,34$	$0,99 \pm 0,32$	0,41
Sağ interlober	AT	$73,4 \pm 24,14$	$67,5 \pm 23,3$	0,41

Sol renal ve interlober arterlere ait parametrelerin karşılaştırılmasında Behçet hastaları ve kontrol grubu arasında istatistiksel olarak anlamlı fark bulunmadı. (Tablo 7).

Tablo 7. Sol renal ve interlober arterlere ait akım parametrelerinin karşılaştırılması

Parametre	Behçet grubu	Kontrol grubu	P
Sol renal PSV	$92,6 \pm 22,8$	$97,6 \pm 24,7$	0,21
Sol renal EDV	$37,9 \pm 9,2$	$40 \pm 10,5$	0,29
Sol renal TAM	$28,5 \pm 9,8$	$30,96 \pm 8,7$	0,27
Sol renal S/D	$2,48 \pm 0,61$	$2,44 \pm 0,65$	0,75
Sol renal RI	$0,58 \pm 0,073$	$0,58 \pm 0,06$	1,00
Sol renal PI	$1,05 \pm 0,33$	$1,01 \pm 0,34$	0,60
Sol renal AT	$73,4 \pm 25,35$	$72,5 \pm 24,1$	0,89
Sol interlober PSV	$59,7 \pm 17,16$	$59,3 \pm 17,4$	0,91
Sol interlober EDV	$25,5 \pm 6,7$	$26,8 \pm 5,4$	0,45
Sol interlober TAM	$17,7 \pm 6,9$	$16,9 \pm 6,4$	0,60
Sol interlober S/D	$2,4 \pm 0,63$	$2,24 \pm 0,64$	0,25
Sol interlober RI	$0,56 \pm 0,08$	$0,54 \pm 0,07$	0,41
Sol interlober PI	$0,96 \pm 0,28$	$0,9 \pm 0,29$	0,38
Sol interlober AT	$70,6 \pm 27,47$	$67,8 \pm 26,6$	0,68

Her iki böbrek arterlerinin debisinin kıyaslamasında, sağ renal arter ortalama debisi Behçet hastaları ve kontrol grubunda sırasıyla $304,06 \pm 124$ ml/dk ve 398 ± 187 ml/dk'dır. Aradaki fark istatistiksel olarak anlamlı bulundu ($p=0,009$).

Sol renal arter debisi Behçet hastaları ve kontrol grubunda sırasıyla $282,66 \pm 87,11$ ml/dk ve 381 ± 121 ml/dk'dır. Aradaki fark istatistiksel olarak anlamlı bulundu ($p<0,001$) (Tablo 8).

Tablo 8. Her iki renal arter debilerinin Behçet ve kontrol grubunda karşılaştırılması

Parametre	Behçet grubu	Kontrol grubu	P
Sağ renal arter debisi	$304,06 \pm 124$	398 ± 187	0,09
Sol renal arter debisi	$282,66 \pm 87,11$	381 ± 121	$> 0,001$

Behçet hastalarının sağ ve sol böbrekleri arasında renal arter debileri, arter çapları ve arter çap değerleri arasında istatistiksel olarak anlamlı fark bulunmadı (Tablo 9).

Tablo 9. Behçet hastalarında renal arter debisinin ve ilgiliparametrelerin sağ ve sol böbrekte karşılaştırılması

Parametre	Sağ böbrek	Sol böbrek	p
Arter çapı	$0,4506 \pm 0,04$	$0,4497 \pm 0,04$	0,92
TAM	$29,23 \pm 10,2$	$28,5 \pm 9,8$	0,77
Debi	$304,06 \pm 124$	$282,66 \pm 87,11$	0,43

Behçet hastalarında sağ ve sol böbrekler arasında RAO, böbrek boyutları ve parankim kalınlıklarının karşılaştırılmasında, Behçet hastalarında sağ ve sol böbrekler arasında RAO ,böbrek boyutları ve parankim kalınlıklarının karşılaştırılmasında istatistiksel olarak anlamlı fark bulunmadı (Tablo 10).

Tablo 10. Behçet hastalarında sağ ve sol böbrekler arasında RAO, böbrek boyutları ve parankim kalınlıklarının karşılaştırılması

Parametre	Sağ böbrek	Sol böbrek	p
RAO	$12,52 \pm 1,23$	$12,44 \pm 1,64$	0,83
Parankim kalınlığı	$0,97 \pm 0,33$	$1,02 \pm 0,4$	0,62
Uzun kenar	$100,88 \pm 8,89$	$103,06 \pm 13,2$	0,44
Kısa kenar	$39,13 \pm 5,05$	$42 \pm 4,66$	0,06

Behçet hastalarında her iki renal artere ait akım parametrelerinin kıyaslamasında istatistiksel olarak anlamlı fark bulunmadı (Tablo 11).

Tablo 11. Behçet hastalarında sağ ve sol böbrekler arasında renal arterlerde akım parametreleri

Parametre	Sağ böbrek	Sol böbrek	p
PSV	$91,64 \pm 23,4$	$92,6 \pm 22,8$	0,87
EDV	$35,87 \pm 10,8$	$37,9 \pm 9,2$	0,42
TAM	$29,23 \pm 10,2$	$28,5 \pm 9,8$	0,77
RI	$0,6 \pm 0,073$	$0,58 \pm 0,073$	0,32
PI	$1,11 \pm 0,33$	$1,05 \pm 0,33$	0,43
S / D	$2,64 \pm 0,62$	$2,48 \pm 0,61$	0,29
AT	$73,1 \pm 27,76$	$73,4 \pm 25,35$	0,96

Behçet hastalarında sağ ve sol interlober arterlerde akım parametrelerinde istatistiksel olarak anlamlı fark bulunamadı. (Tablo 12)

Tablo 12. Behçet hastalarında sağ ve sol interlober arterlerde akım parametreleri

Parametre	Sağ böbrek	Sol böbrek	p
PSV	$62,33 \pm 14,21$	$59,7 \pm 17,16$	0,51
EDV	$25,32 \pm 6,7$	$25,5 \pm 6,7$	0,94
TAM	$18,64 \pm 6,15$	$17,7 \pm 6,9$	0,58
RI	$0,59 \pm 0,08$	$0,56 \pm 0,08$	0,09
PI	$1,05 \pm 0,34$	$0,96 \pm 0,28$	0,24
S / D	$2,52 \pm 0,63$	$2,4 \pm 0,63$	0,42
AT	$73,4 \pm 24,14$	$70,6 \pm 27,47$	0,72

Behçet ve kontrol grubunun erkek üyelerinin her iki böbrek boyutları, parankim kalınlığı, arter çapları ve RAOların karşılaştırılması sonucu renal arter çapları arasında istatistiksel olarak anlamlı fark bulunmuştur.

Sağ renal arter çapları ortalaması Behçet hastaları ve kontrol grubunda sırasıyla $0,455 \pm 0,045$ mm ve $0,513 \pm 0,045$ mm olup aradaki fark istatistiksel olarak anlamlı bulundu ($p<0,001$).

Sol renal arter çapları ortalaması Behçet hastaları ve kontrol grubunda sırasıyla $0,46 \pm 0,045$ mm ve $0,51 \pm 0,042$ mm olup aradaki fark istatistiksel olarak anlamlı bulundu ($p=0,001$).

Tablo 13. Behçet ve kontrol grubunun erkek üyelerinin her iki böbrek boyutları, parankim kalınlığı, arter çapları ve RAOların karşılaştırılması

Parametre	Erkek behçet	Erkek kontrol	p
Sağ böbrek uzun eksen	$101,89 \pm 10,38$	$103,39 \pm 8,72$	0,65
Sağ böbrek kısa eksen	$39,94 \pm 5,68$	$38,39 \pm 1,88$	0,28
Sol böbrek uzun eksen	$102,39 \pm 14,65$	$105,94 \pm 5,32$	0,34
Sol böbrek kısa eksen	$42,56 \pm 5,58$	40 ± 2	0,08
Sağ ortalama parankim	$12,7 \pm 1,21$	$12,9 \pm 1,41$	0,62
Sol ortalama parankim	$12,5 \pm 1,95$	$12,9 \pm 1,15$	0,44
Sağ renal arter çapı	$0,455 \pm 0,045$	$0,513 \pm 0,045$	<0,001
Sol renal arter çapı	$0,46 \pm 0,045$	$0,51 \pm 0,042$	0,001
Sağ RAO	$0,93 \pm 0,3$	$1,09 \pm 0,3$	0,07
Sol RAO	$0,95 \pm 0,3$	$1,08 \pm 0,2$	0,15

Behçet ve kontrol grubunun erkek üyelerinin renal arter debilerinin karşılaştırılması ;

Sağ renal arter debisi Behçet hastaları ve kontrol grubunda sırasıyla $318,2 \pm 151,8$ ml/dk ve $428,8 \pm 187,1$ ml/dk olup aradaki fark istatistiksel olarak anlamlıdır ($p=0,04$).

Sol renal arter debisi Behçet hastaları ve kontrol grubunda sırasıyla $256,6 \pm 86,1$ ml/dk ve $391,3 \pm 135,5$ ml/dk olup aradaki fark istatistiksel olarak anlamlıdır ($p=0,02$) (Tablo 14)

Tablo 14. Behçet ve kontrol grubunun erkek üyelerinin renal arter debilerinin karşılaştırılması

Parametre	Erkek behçet	Erkek kontrol	p
Sağ renal arter debisi	$318,2 \pm 151,8$	$428,8 \pm 187,1$	0,04
Sol renal arter debisi	$256,6 \pm 86,1$	$391,3 \pm 135,5$	0,02

Behçet ve kontrol grubunun erkek üyelerinin sağ böbrek akım parametrelerinin karşılaştırılmasında istatistiksel olarak anlamlı fark bulunmadı (Tablo 15).

Tablo 15. Behçet ve kontrol grubunun erkek üyelerinin sağ böbrek akım parametrelerinin karşılaştırılması

Parametre	Erkek behçet	Erkek kontrol	P
Sağ renal PSV	92,53 ± 22,85	104,33 ± 23,31	0,057
Sağ renal EDV	36,58 ± 12,38	39,48 ± 7,16	0,4
Sağ renal TAM	29,63 ± 11,7	31,19 ± 10,22	0,67
Sağ renal S/D	2,52 ± 0,6	2,64 ± 0,37	0,51
Sağ renal PI	1,05 ± 0,29	1,14 ± 0,25	0,27
Sağ renal RI	0,56 ± 0,07	0,61 ± 0,06	0,34
Sağ renal AT	67,2 ± 19,4	79,4 ± 28,4	0,14
Sağ interlober PSV	60,5 ± 14,6	59,6 ± 12,5	0,86
Sağ interlober EDV	25,3 ± 4,6	24,8 ± 4,7	0,82
Sağ interlober TAM	17,3 ± 2,6	16,7 ± 2,8	0,74
Sağ interlober S/D	2,4 ± 0,4	2,45 ± 0,5	0,71
Sağ interlober RI	0,58 ± 0,05	0,59 ± 0,09	0,95
Sağ interlober PI	1,08 ± 0,2	1,08 ± 0,2	1
Sağ interlober AT	66,1 ± 15,	69,4 ± 15,7	0,21

Behçet hastaları ve kontrol grubunun erkek üyelerinin sol renal ve interlober arterlere ait akım parametrelerinin karşılaştırılmasında istatistiksel olarak anlamlı fark bulunmadı (Tablo 16).

Tablo 16. Behçet hastaları ve kontrol grubunun erkek üyelerinin sol renal ve interlober arterlere ait akım parametrelerinin karşılaştırılması

Parametre	Erkek behçet	Erkek kontrol	p
ol renal PSV	$84,8 \pm 23,2$	$99,7 \pm 24,4$	0,06
ol renal EDV	$36 \pm 7,6$	$39,7 \pm 7,7$	0,21
ol renal TAM	$25,7 \pm 4,3$	$29,5 \pm 4$	0,16
ol renal S/D	$2,47 \pm 0,2$	$2,5 \pm 0,3$	0,9
ol renal PI	$1,08 \pm 0,2$	$1,08 \pm 0,2$	1
ol renal RI	$0,585 \pm 0,06$	$0,59 \pm 0,07$	0,95
ol renal AT	$66,11 \pm 12,2$	$69,44 \pm 13$	0,63
ol interlober PSV	$59,9 \pm 17,7$	$55,9 \pm 18$	0,84
ol interlober EDV	$24,1 \pm 5,4$	$25,5 \pm 6,1$	0,52
ol interlober TAM	$15,5 \pm 5,4$	$15,7 \pm 6,2$	0,95
ol interlober S/D	$2,32 \pm 0,34$	$2,23 \pm 0,32$	0,58
ol interlober PI	$0,96 \pm 0,21$	$0,9 \pm 0,12$	0,5
ol interlober RI	$0,55 \pm 0,09$	$0,53 \pm 0,1$	0,5
ol interlober AT	$61,1 \pm 12,5$	$62,8 \pm 14$	0,81

Behcet hastaları ve kontrol grubunun kadın üyelerinin böbrek boyutları, ortalama parankim kalınlığı ve RAOların karşılaştırılmasında yalnız sol renal arter çapları arasındaki fark istatistiksel olarak anlamlı bulundu.

Sol renal arter çapı ortalaması Behcet hastaları ve kontrol grubunda sırasıyla $0,44 \pm 0,02$ mm ve $0,47 \pm 0,04$ mm olup aradaki fark istatistiksel olarak anlamlı bulundu ($p=0,02$). Sağ renal arter çaplarının karşılaştırılmasında aradaki fark anlamlı değildir (Tablo 17).

Tablo 17. Behcet hastaları ve kontrol grubunun kadın üyelerinin böbrek boyutları, ortalama parankim kalınlığı ve RAOların karşılaştırılması

Parametre	Kadın behcet	Kadın kontrol	p
Sağ böbrek uzun eksen	$99,6 \pm 6,7$	$102,7 \pm 5,8$	0,2
Sağ böbrek kısa eksen	$38,1 \pm 4,1$	$36,8 \pm 2,8$	0,33
Sol böbrek uzun eksen	$107,1 \pm 10,6$	$103,8 \pm 8,9$	0,37
Sol böbrek kısa eksen	$41,3 \pm 3,2$	$39,5 \pm 4,5$	0,24
Sağ ortalama parankim	$12,3 \pm 1,3$	$12,7 \pm 0,9$	0,31
Sol ortalama parankim	$12,4 \pm 1,2$	$12,8 \pm 0,9$	0,25
Sağ renal arter çapı	$0,45 \pm 0,03$	$0,46 \pm 0,04$	0,24
Sol renal arter çapı	$0,44 \pm 0,02$	$0,47 \pm 0,04$	0,02
Sağ RAO	$1,03 \pm 0,36$	$1,17 \pm 0,53$	0,43
Sol RAO	$1,1 \pm 0,5$	$0,9 \pm 0,2$	0,18

Behçet hastaları ve kontrol grubunun kadın üyelerinin her iki renal arter debilerinin karşılaştırılmasında istatistiksel olarak anlamlı fark bulunmadı (Tablo 18).

Tablo 18. Behçet hastaları ve kontrol grubunun kadın üyelerinin her iki renal arter debilerinin karşılaştırılması

Parametre	Kadın behçet	Kadın kontrol	p
Sağ renal arter debisi	$285,9 \pm 76,5$	$369,14 \pm 188,8$	0,14
Sol renal arter debisi	$304,6 \pm 86,4$	$375,9 \pm 104,2$	0,06

Behçet hastaları ve kontrol grubunun kadın üyelerinin sağ renal ve interlobar arterlerine ait parametrelerin karşılaştırılmasında istatistiksel olarak anlamlı fark bulunmadı (Tablo 19).

Tablo 19. Behçet hastaları ve kontrol grubunun kadın üyelerinin sağ renal ve interlobar arterlere ait parametrelerin karşılaştırılması

Parametre	Kadın behçet	Kadın kontrol	p
Sağ renal PSV	$95,64 \pm 25,6$	$97,3 \pm 17,9$	0,84
Sağ renal EDV	$34,9 \pm 8,7$	$40,6 \pm 9,4$	0,11
Sağ renal TAM	$28,7 \pm 34,4$	$34,4 \pm 14,8$	0,25
Sağ renal S / D	$2,8 \pm 0,6$	$2,6 \pm 0,3$	0,28
Sağ renal PI	$1,2 \pm 0,4$	$1,05 \pm 0,15$	0,23
Sağ renal RI	$0,61 \pm 0,08$	$0,61 \pm 0,02$	1
Sağ renal AT	$80,7 \pm 35,4$	$70,7 \pm 22$	0,38
Sağ interlobar PSV	$64,7 \pm 13,8$	$65,7 \pm 17,5$	0,87
Sağ interlobar EDV	$25,4 \pm 6,9$	$27,6 \pm 6,2$	0,38
Sağ interlobar TAM	$20,4 \pm 5,7$	$19,7 \pm 6,4$	0,78
Sağ interlobar S / D	$2,7 \pm 0,8$	$2,3 \pm 0,28$	0,15
Sağ interlobar PI	$1,1 \pm 0,4$	$0,9 \pm 0,09$	0,11
Sağ interlobar RI	$0,6 \pm 0,09$	$0,59 \pm 0,11$	0,79
Sağ interlobar AT	$88,6 \pm 41,1$	$63,6 \pm 23,1$	0,6

Behçet hastaları ve kontrol grubunun kadın üyelerinin sol renal ve interlober arterlere ait parametrelerin karşılaştırılmasında istatistiksel olarak anlamlı fark bulunmadı (Tablo 20).

Tablo 20. Behçet hastaları ve kontrol grubunun kadın üyelerinin sol renal ve interlober arterlere ait parametrelerin karşılaştırılması

Parametre	Kadın behçet	Kadın kontrol	P
Sol renal PSV	98,14 ± 24,21	95,01 ± 23	0,7
Sol renal EDV	40,5 ± 6,9	40,6 ± 7,5	0,96
Sol renal TAM	32,1 ± 10,7	32,8 ± 7,5	0,83
Sol renal S/D	2,5 ± 0,5	2,4 ± 0,3	0,41
Sol renal PI	1 ± 0,2	0,93 ± 0,12	0,31
Sol renal RI	0,58 ± 0,07	0,57 ± 0,05	0,76
Sol renal AT	82,9 ± 25,3	76,4 ± 32,3	0,59
Sol interlober PSV	65,9 ± 15,7	63,6 ± 17	0,74
Sol interlober EDV	27,3 ± 6	28,3 ± 7,2	0,68
Sol interlober TAM	20,5 ± 6,7	18,4 ± 7,2	0,43
Sol interlober S/D	2,5 ± 0,8	2,3 ± 0,3	0,32
Sol interlober PI	0,96 ± 0,3	0,9 ± 0,2	0,59
Sol interlober RI	0,56 ± 0,09	0,55 ± 0,06	0,67
Sol interlober AT	82,8 ± 35	75,2 ± 25	0,49

6 yıldan daha kısa süredir behçet hastası olanlarda böbrek boyutları, parankim kalınlıkları, kan basınçları ve renal arter debilerinin kontrol grubu ile karşılaştırılmasında, parametreler arasında istatistiksel olarak anlamlı fark bulunmadı (Tablo 21).

Tablo 21 . 6 yıldan daha kısa süredir behçet hastası olanlarda böbrek boyutları, parankim kalınlıkları, kan basınçları ve renal arter debilerinin kontrol grubu ile karşılaştırılması

Parametre	Behçet 1-6 yıl (n=16)	Kontrol (n=16)	p
Sağ böbrek uzun eksen	101,1 ± 7,3	100,5 ± 7,7	0,83
Sağ böbrek kısa eksen	38,1 ± 5,5	37,1 ± 2,2	0,51
Sol böbrek uzun eksen	104,8 ± 7,3	102,5 ± 6,1	0,34
Sol böbrek kısa eksen	41,7 ± 4,5	39,6 ± 3,1	0,13
Sağ ortalama parankim	13,1 ± 1,1	12,5 ± 1,4	0,17
Sol ortalama parankim	12,8 ± 1,5	12,5 ± 1,2	0,52
Sağ renal arter çapı	0,46 ± 0,04	0,48 ± 0,04	0,15
Sol renal arter çapı	0,46 ± 0,04	0,49 ± 0,04	0,06
Sağ RAO	0,93 ± 0,27	1,1 ± 0,4	0,15
Sol RAO	0,97 ± 0,31	0,98 ± 0,23	0,92
Sistolik kan basıncı	12,8 ± 1,1	12 ± 1	0,08
Diastolik kan basıncı	7,8 ± 0,9	7,5 ± 0,6	0,44
Sağ renal arter debisi	339,4 ± 141	408,2 ± 200	0,27
Sol renal arter debisi	294,4 ± 74,1	353,4 ± 106,2	0,08

7 yıl ve daha uzun süreli behçet hastalarında böbrek boyutları, parankim kalınlıkları, kan basınçları ve renal arter debilerinin kontrol grubu ile kıyaslamasında,

Sağ böbrek ortalama parankim kalınlığı Behçet hastaları ve kontrol grubunda sırasıyla $11,9 \pm 1$ mm ve $13,2 \pm 0,9$ mm olup aradaki fark istatistiksel olarak anlamlıdır ($p=0,01$)

Sol böbrek ortalama parankim kalınlığı Behçet hastaları ve kontrol grubunda sırasıyla $11,7 \pm 1,8$ mm ve $13,2 \pm 0,77$ mm olup aradaki fark istatistiksel olarak anlamlıdır ($p=0,04$)

Sağ renal arter çapı Behçet hastaları ve kontrol grubunda sırasıyla $0,44 \pm 0,04$ mm ve $0,5 \pm 0,05$ mm olup aradaki fark istatistiksel olarak anlamlıdır ($p=0,02$).

Sol renal arter çapı Behçet hastaları ve kontrol grubunda sırasıyla $0,44 \pm 0,04$ mm ve $0,5 \pm 0,05$ mm aradaki fark istatistiksel olarak anlamlıdır ($p=0,02$).

Diğer parametrelerin karşılaştırılmasında istatistiksel olarak anlamlı fark bulunmadı (Tablo 22)

Tablo 22. 7 yıl ve daha uzun süredir behçet hastası olanlarda böbrek boyutları, parankim kalınlıkları, kan basınçları ve renal arter debilerinin kontrol grubu ile karşılaştırılması

Parametre	Behçet 7 ve + yıl (n=16)	Kontrol (n=16)	p
Sağ böbrek uzun eksen	$100,7 \pm 10,5$	$105,7 \pm 6,5$	0,12
Sağ böbrek kısa eksen	$40,1 \pm 4,5$	$38,2 \pm 2,5$	0,16
Sol böbrek uzun eksen	$104,1 \pm 17,3$	$107,5 \pm 7,3$	0,48
Sol böbrek kısa eksen	$42,3 \pm 4,3$	$40,6 \pm 4$	0,29
Sağ ortalama parankim	$11,9 \pm 1$	$13,2 \pm 0,9$	0,01
Sol ortalama parankim	$11,7 \pm 1,8$	$13,2 \pm 0,77$	0,04
Sağ renal arter çapı	$0,44 \pm 0,04$	$0,5 \pm 0,05$	0,02
Sol renal arter çapı	$0,44 \pm 0,04$	$0,5 \pm 0,05$	0,02
Sağ RAO	$1,02 \pm 0,4$	$1,2 \pm 0,4$	0,19
Sol RAO	$1,1 \pm 0,5$	$1 \pm 0,2$	0,78
Sistolik kan basıncı	$13,8 \pm 2,6$	$13,2 \pm 0,9$	0,45
Diastolik kan basıncı	$8,3 \pm 0,9$	$7,8 \pm 0,7$	0,08
Sağ renal arter debisi	269 ± 97	397 ± 179	0,02
Sol renal arter debisi	271 ± 99	372 ± 130	0,02

Hastalık süresi 1 ila 6 yıl arasında değişen Behçet hastalarında sağ renal ve interlober arterlere ait parametrelerin kontrol grubu ile karşılaştırılmasında istatistiksel olarak anlamlı fark bulunmadı (Tablo 23).

Tablo 23. 1-6 yıldır behçet hastası olanlarda sağ renal ve interlober arterlere ait parametrelerin kontrol grubu ile karşılaştırılması

Parametre	Behçet 1-6 yıl (n=16)	Kontrol 1-6 yıl (n=16)	p
Sağ renal PSV	99,3 ± 21,1	119,5 ± 36,8	0,07
Sağ renal EDV	36,8 ± 12,9	44,6 ± 15,3	0,13
Sağ renal TAM	30,7 ± 11,7	33,1 ± 11,9	0,56
Sağ renal S / D	2,6 ± 0,7	2,7 ± 0,3	0,77
Sağ renal PI	1,14 ± 0,42	1,12 ± 0,16	0,9
Sağ renal RI	0,6 ± 0,07	0,62 ± 0,04	0,25
Sağ renal AT	72,5 ± 33,7	72,5 ± 24	1
Sağ interlober PSV	61,5 ± 10,4	66,7 ± 13,2	0,23
Sağ interlober EDV	24,1 ± 5,9	26,9 ± 5,6	0,17
Sağ interlober TAM	17,2 ± 5,3	18,6 ± 5,5	0,48
Sağ interlober S / D	2,6 ± 0,7	2,5 ± 0,3	0,51
Sağ interlober PI	1,1 ± 0,4	1 ± 0,2	0,33
Sağ interlober RI	0,61 ± 0,08	0,6 ± 0,11	0,9
Sağ interlober AT	69,4 ± 32,9	71,9 ± 20,7	0,8

1-6 yıldır behçet hastası olanlarda sol renal ve interlober arterlere ait parametrelerin kontrol grubu ile karşılaştırılmasında parametreler arasında istatistiksel olarak anlamlı fark bulunmadı (Tablo 24).

Tablo 24. 1-6 yıldır behçet hastası olanlarda sol renal ve interlober arterlere ait parametrelerin kontrol grubu ile karşılaştırılması

Parametre	Behçet 1-6 yıl (n=16)	Kontrol 1-6 yıl (n=16)	p
Sol renal PSV	90,1 ± 20,1	105,7 ± 21,3	0,06
Sol renal EDV	38,07 ± 8,9	41,9 ± 8,2	0,22
Sol renal TAM	27,8 ± 7,9	32,7 ± 8,5	0,11
Sol renal S/D	2,5 ± 0,6	2,6 ± 0,29	0,83
Sol renal PI	1,05 ± 0,4	1,05 ± 0,16	1
Sol renal RI	0,59 ± 0,08	0,6 ± 0,04	0,51
Sol renal AT	68,1 ± 22,3	70,6 ± 14,8	0,71
Sol interlober PSV	58,4 ± 13,8	64,6 ± 15,1	0,54
Sol interlober EDV	25,4 ± 6,8	27,8 ± 6,8	0,33
Sol interlober TAM	17,4 ± 6,9	17,9 ± 6,9	0,84
Sol interlober S/D	2,4 ± 0,5	2,2 ± 0,3	0,36
Sol interlober PI	0,95 ± 0,25	0,91 ± 0,19	0,6
Sol interlober RI	0,55 ± 0,07	0,55 ± 0,06	1
Sol interlober AT	66,9 ± 25,8	71,9 ± 24,5	0,58

7 yıl ve daha uzun süredir behçet hastası olanlarda sağ renal ve interlober arterlere ait parametrelerin kontrol grubu ile karşılaştırılmasında parametreler arasında istatistiksel olarak anlamlı fark bulunmadı (Tablo 25).

Tablo 25. 7 yıl ve daha uzun süredir behçet hastası olanlarda sağ renal ve interlober arterlere ait parametrelerin kontrol grubu ile karşılaştırılması

Parametre	Behçet 7 ve + yıl (n=16)	Kontrol 7 ve + yıl (n=16)	p
Sağ renal PSV	$90,9 \pm 20,9$	$104,7 \pm 30,3$	0,24
Sağ renal EDV	$34,9 \pm 8,6$	$40,9 \pm 10,2$	0,09
Sağ renal TAM	$27,8 \pm 8,2$	$32,1 \pm 14$	0,32
Sağ renal S / D	$2,6 \pm 0,6$	$2,5 \pm 0,4$	0,51
Sağ renal PI	$1,08 \pm 0,2$	$1,07 \pm 0,18$	0,88
Sağ renal RI	$0,6 \pm 0,07$	$0,6 \pm 0,05$	1
Sağ renal AT	$73,7 \pm 21,2$	$78,7 \pm 27,5$	0,58
Sağ interlober PSV	$63,1 \pm 17,5$	$57,9 \pm 15,5$	0,38
Sağ interlober EDV	$26,6 \pm 7,3$	$25,1 \pm 6$	0,55
Sağ interlober TAM	$20,05 \pm 6,7$	$17,4 \pm 6,3$	0,25
Sağ interlober S / D	$2,4 \pm 0,6$	$2,3 \pm 0,6$	0,58
Sağ interlober PI	$0,98 \pm 0,25$	$0,98 \pm 0,21$	1
Sağ interlober RI	$0,58 \pm 0,08$	$0,58 \pm 0,06$	1
Sağ interlober AT	$77,5 \pm 35,9$	$63,1 \pm 22,1$	0,18

7 yıl ve daha uzun süredir behçet hastası olanlarda sol renal ve interlober arterlere ait parametrelerin kontrol grubu ile karşılaştırılmasında, parametreler arasında istatistiksel olarak anlamlı fark bulunmadı (Tablo 26).

Tablo 26. 7 yıl ve daha uzun süredir behçet hastası olanlarda sol renal ve interlober arterlere ait parametrelerin kontrol grubu ile karşılaştırılması

Parametre	Behçet 7 ve + yıl (n=16)	Kontrol 7 ve + yıl (n=16)	p
Sol renal PSV	92,12 ± 25,8	89,6 ± 13,2	0,73
Sol renal EDV	37,7 ± 9,7	38,2 ± 4,9	0,86
Sol renal TAM	29,1 ± 11,7	29,2 ± 6,4	0,98
Sol renal S/D	2,46 ± 0,6	2,35 ± 0,34	0,50
Sol renal PI	1,04 ± 0,24	0,97 ± 0,2	0,35
Sol renal RI	0,58 ± 0,06	0,56 ± 0,06	0,55
Sol renal AT	78,7 ± 27,8	74,4 ± 36	0,70
Sol interlober PSV	61 ± 20,3	56,9 ± 16	0,53
Sol interlober EDV	25,6 ± 6,6	25,7 ± 6,7	0,95
Sol interlober TAM	18,1 ± 7,2	15,9 ± 7,1	0,32
Sol interlober S/D	2,4 ± 0,7	2,3 ± 0,3	0,46
Sol interlober PI	0,96 ± 0,3	0,9 ± 0,3	0,49
Sol interlober RI	0,56 ± 0,1	0,53 ± 0,1	0,38
Sol interlober AT	74,4 ± 29,4	63,8 ± 30	0,32

TARTIŞMA

Behçet hastalığı kronik multisistemik bir vasküllittir. En sık görülen bulgular arasında deri-genital bölgeye ait ülserasyonlar ve göz lezyonları bulunmakla birlikte diğer organ sistemleri de tutulum gösterebilir (26, 27).

Önemli ve tutulumu yaşamı tehdit edebilen sistemlerden birisi de üriner sistemdir. Üriner sistem tutulumu ile ilgili yapılan çalışmalarla oldukça farklı sonuçlar bildirilmiştir (48). Üriner sistemde tutulum oranı değişik çalışmalarda % 0 ile %55 arasında bildirilmekte olup bu çalışmalarda erkeklerde bulguların genellikle daha sık ve ağır görüldüğü rapor edilmiştir (46).

Literatürde Behçet hastalığındaki renal tutulum görünümleri glomerulonefritis, amiloidozis, renal vasküler tutulum, interstiyel nefritis ve ilaç kullanımı veya genitoüriner sistem anomalilerine bağlı diğer problemler olmak üzere beş başlık altında toplanmışlardır (32). Gürler ve ark.(3) 2147 hastayı kapsayan çalışmalarında 2 hastada biyopsi ile renal tutulum göstermişlerdir. Akpolat ve ark.(32) ise renal tutulumu olan 159 Behçet hastasını kapsayan çalışmalarda 69 hastada amiloidozis, 51 hastada glomerulonefritis, 35 hastada renovasküler hastalık ve 4 hastada da intersityel nefrit bildirmişlerdir. Rosenthal ve ark. (52) 77 Behçet hastasının 33'ünün idrar tetkikini retrospektif değerlendirmiştir ve bu hastaların 11'inde hematuri, 10'unda proteinürü, 4'ünde hem hematuri hem de proteinürü saptanmıştır.

Çalışmamızı katılan tüm hastaların BUN, kreatinin, albümün değerleri normal sınırlarda bulundu. Olgularımızın hiçbirinde hematuri ve spot idrarda proteinürü saptanmadı. Bilindiği üzere BUN ve kreatinin değerlerinin anormal değerlerde olması için hastanın renal fonksiyonlarında önemli oranda kayıp olması gerekmektedir. Ayrıca albümün değerlerinin karaciğer fonksiyonları ile yakından ilişkisi bulunmaktadır. Böbrek fonksiyonları tamamen normal iken vücut yüzey alanı 1.73 m^2 olan sağlıklı bir bireyde Glomerüler Filtrasyon Hizi (GFR) 120 ml/dk 'dır. Bu koşullarda serum kreatinin seviyesi 0.6 mg/dl dir. GFR 90 ml/dk olduğunda azalmış renal rezerv söz konusudur ve karşılık gelen serum kreatinin seviyesi yaklaşık 0.8 mg/dl dir. GFR 40 ml/dk ile 90 ml/dk değerleri arasında ise renal yetersizlik tablosu oluşturmaktadır. Eşzamanlı serum kreatinin seviyesi $0.8 - 2.4 \text{ mg/dl}$ arasında ölçülmektedir. Renal yetmezlik oluştuğunda ise GFR 10 ml/dk ile 45 ml/dk arasında ve serum kreatinin seviyesi 2 mg/dl ile 12 mg/dl arasında değişmektedir. GFR 10 ml/dk 'nin altına indiğinde ve serum kreatinin seviyesi 12 mg/dl değerinin üzerine çıktığında üremi tablosu oluşturmaktadır. Fonksiyon gören nefron sayısı normalin % 10 una kadar düşse bile BUN, üre seviyeleri normal değerlerde kalabilmektedir. Ancak bu kritik değerin altında fonksiyon söz konusu olduğunda bu seviyelerde dramatik artış görülecektir. Çalışmamızı katılan 32 Behçet hastasının ortalaması serum kreatinin seviyeleri 0.8 mg/dl kontrol grubunun ise 0.75 mg/dl ölçülmüştür. Serum kreatinin seviyelerinde ortalaması 0.05 mg/dl lik artış görülmüş ancak

(33-44). Behçet hastalığının böbrek tutulumunun Doppler ile incelendiği çalışmalarda genellikle RI değerlerinin incelendiği görülmüştür. Rizzi ve ark.(56) 24 Behçet hastası ve renal hastlığı bulunmayan 30 gönüllüyü kapsayan çalışmalarda interlober arterlere ait RI değerlerini karşılaştırmışlar ancak anlamlı fark bulamamışlardır. Çalışmamızda RI değerlerine ilaveten diğer hemodinamik parametreler de incelenmiştir.

Renovasküler Behçet hastalığı tutulum yerine göre iki grupta incelenmektedir: makroskopik (orta büyülükteki arter ve venler), mikroskopik (küçük arterler, arterioller, kapillerler ve venüller). Akpolat ve ark. (32) 132 hastayı içeren çalışmalarında 35 hastada renal vasküler hastalık gözlemlemişlerdir. Renal arter anevrizması olan 12 hastanın tümü erkektir. Bu hastalarda renal arter anevrizması hastalığın 2-10. (ortalama 5.) yılında görülmüştür. Bu çalışmada 12 hastada renal arter stenozu, 7 hastada renal ven trombozu ve 4 hastada mikroskopik vasküler hastalık bulundu.

Daha önceki diğer çalışmalar; Türkiye (n=2147), İran (n=3153), Japonya (n=3316) ve Avrupa (n=714) , Behçet hastalığında vasküler tutulum oranları %17, % 9, % 9 ve % 10 olarak bildirilmiştir. Tüm çalışmalarında amilodoz görülen Behçet hastalarında görülmeyen grupla karşılaştırıldığında vasküler tutulum oranları daha yüksek olup aradaki farklar istatistiksel olarak % 1 hata eşliğinde anlamlı bulunmuştur (9,57,58,59). Çalışmamızda Behçet hastalarında renal arterlere anevrizma veya tromboz saptanmadı. Behçet hastaları ve kontrol grubu karşılaştırıldığında her iki renal arter çapının ve debisinin Behçet hastalarında daha düşük olduğu görüldü. Arterin içinden geçen kan akımı miktarı (debi) o arterin çapının karesi ile doğru orantılı olduğundan debi hesaplanmasıda arter çapı önemli bir rol oynar. Behçetli hastalarımızda renal arter çaplarının düşük olmasının nedeninin hastalığın histopatogenezinde saklı olduğunu düşünmektedir. Behçet vaskülitik bir hastalıktır. Vaskülitik hastalıkların aktif döneminde özellikle media ve adventisia da nötrofil ve lenfositten zengin hücre infiltrasyonu ve daha ileri dönemde elastik liflerde azalma, intima ve adventisia da fibröz kalınlaşma ve vazo vazorumların tikanması görülmektedir (1). Bu durumda normal dokunun (damar elastik liflerinin) yerini post emflamatuar fibrotik doku almaktadır. Dolayısı ile elastik liflerin kaybı ile damarın hemodinamik değişikliklere yanıtı azalmaktadır. Ayrıca damarların beslenmesinden sorumlu vasküler yapılar olan vazo vazorumların kronik emflamasyonla harabiyeti sonucu bu damarlarda beslenme kusuru ortaya çıkacaktır. Bütün bu değişiklikler damar hasarını artıran faktörlerdir (1).

Önceki değişik çalışmalar (32) mikrovasküler tutulum gösteren 4 hasta incelenmiştir. Bu hastalara ait lezyonlar ateroskleroz ile açıklanamamıştır çünkü geç ve normotansif olgulardır. Hematuri ve / veya proteinürü tüm olgularda gözlemlenmiştir. Histopatolojik bulgular interlober arterler ve arteriollerde, perivasküler fibrozis, tüm damar duvarlarında fibrinoid depozitleridir.

aradaki fark istatistiksel olarak anlamlı bulunmamıştır. Behçet hastalarının ve kontrol grubunun ortalama serum kreatinin seviyelerine karşılık gelen GFR'ları yaklaşık 90 ml/dk olup azalmış renal rezerv olarak adlandırılmaktadır. Ancak bu bulgu normal yaşlanmaya bağlı değişiklik olarak değerlendirilebilir (33). Çalışmamıza katılan Behçet hastalarında ortalama serum BUN, üre ve albümün değerleri normal sınırlarda bulunmuştur çünkü bu değerlerde değişiklik oluşturabilecek kadar renal fonksiyon kaybı bulunmamaktadır.

Yine renal tutulumun bir göstergesi olabilecek kan basıncı değerlerinin karşılaştırılmasında Behçet hastalarının sistolik ve diyalastolik kan basınçlarının daha yüksek olduğu ancak aradaki farkın anlamlı olmadığı görüldü. Çalışmamıza katılan 32 hastada önceden biopsi ile saptanmış glomerülonefritis veya renal amiloidozis bulunmamaktaydı. Akpolat ve ark. (32), Behçet hastalığı ve amilodidozis birlilikleri olan 34 olgunun 5'inde (% 15), Behçet hastalığı ve glomerülonefritis birlilikleri olan 42 olgunun 11'inde (% 26) hipertansiyonunu bildirmiştir. Bu hastaların birinde anevrizma rüptürüne bağlı hipotansiyon bulunduruyordu.

Renal tutulum gösteren Behçet hastalığında histopatolojik incelemenin bulunduğu 2 çalışma bulunmaktadır. Beaufils ve ark. (54), renal tutulum düşündür semptomları bulunan 11 hastayı değerlendirmiştir. Bu hastaların 5'inde proteinürü bulunmaktadır. Proteinürü miktarı 1 hastada 2 g/dl olup diğerlerinde 0.2 g/dl ile 0.4 g/dl değerleri arasında değişmektedir. 8 hastada fibrinoid mezengial ve irregüler subepitelial depozitler ve 10 hastada mezengiumda ve kapiller bazal membranda C3 birikimi gözlemlenmiştir. 2 g/dl proteinürü bulunan hastada fokal ve segmental glomerülonefritis varlığı saptanmıştır. Tüm hastalarda ateroskleroz bulunmuştur. Herreman ve ark. (55), 2 yıl sonra yaptıkları çalışmada 170 Japon Behçet hastasını otoskop ile incelemiştir. 60 hastada (% 35) renal değişiklik bulmuşlardır. Bu hastaların 7'sinde nefritis, 23'ünde pyelonefritis, 8'inde nefrosklerozis, diğer olgularda ürolitiasis, renal infarkt, renal konjesyon bulmuşlardır.

Renkli Doppler ultrason inceleme tekniği vasküler patolojilerin değerlendirilmesinde önemli bir modalite olup vasküler yapıların morfolojileri ile birlikte akım bilgisi sağlamaktadır. Vaskülitik hastalıkların seyrinde erken dönem bulgularının saptanmasında sıkılıkla kullanılmaktadır (38). Tekniğin kolay uygulanabilir, ucuz ve non invazif olması en önemli avantajları arasındadır. Ancak Doppler incelemenin operatör bağımlı olması ve özellikle abdominal incelemelerde barsak gazlarının varlığı, obezite, kooperasyon eksikliği gibi potansiyel dezavantajları da bulunmaktadır (33). Önceki çalışmalarla vaskülitlerin en erken bulgularının Doppler inceleme ile gösterilebileceği bildirilmiştir (38, 39, 40, 41). Renkli doppler USG inceleme ile hemodinamik durumun belirlenmesinde pek çok parametrelere (RI, PI, AT vb.) incelenmemektedir. Literatürde bugüne kadar vaskülitler ile ilgili özellikle RI ve PI in değerlendirildiği çok sayıda çalışma bulunmaktadır

Histopatolojik incelemede bu hastalarda minor glomerüler ve interstisyal değişiklikler gözlemlenmiştir. Immun floresan ve elektron mikroskobi çalışmaları vasküler duvarlarda C3 ve fibrinoid depozitleri göstermiştir. Olguların birinde 6 yıl sonra tekrar biyopsi yapılmış ve benzer histopatolojik bulgular gözlemlenmiştir. Bu olguda hematüri gözlemlenmemiştir. Diğer olguda biyopsiden 10 ay sonra klinik iyileşme gözlemlenmiştir. Olguların mikroskopik vasküler hastalıkta iyi prognoza işaret ettiğini vurgulamışlardır. Mikroskopik vasküler hastalıkta, glomerülonefritte olduğu gibi intermitan proteinürü veya hematüri görülebildiğini veya asemptomatik klinik görünüm olabildiğini belirtmişlerdir. Çalışmamızda Behçet hastalarının renal arterlerindeki daralmanın damar duvarında enflamasyon sonucu kronik dönemde fibrotik değişikliklerdeki artışı ve / veya fibrinoid depozitleri ile meydana geldiğini düşünmektedir.

Literatürde Behçet hastalarının sonografik olarak renal morfolojilerini değerlendiren daha önceden yapılan bir çalışmaya ulaşılmadı. Mikroskopik düzeyde Beauiful ve ark Behçet hastalarında tubulointerstisyal değişiklikleri (ödem, fibrozis, tubuler atrofi ve az sayıda inflamatuar hücreler) tanımlanmıştır. Interstisyal değişiklik saptanan 4 hastada renal biopsi ile benign nefroskleroz bulunmuştur. Hastalardan birinde (57 yaşında kadın) Esch. Coli sepsisi gözlemlenmiştir. Burada patogenezin açık olmamakla birlikte gram negatif basil enfeksiyonu veya otoimmün mekanizmalara bağlı olduğunu düşünmüştür.

Behçet hastalığında renal tutulum göstergelerinden biri glomerülonefritidir. Glomerülonefritis; Lupus eritamatozis, Poliarteritis nodoza, Goodpasture sendromu, Wegener granülomatozis ve Henoch Schonlein purpurası gibi diğer vaskülitik hastalıklarda da gözlenmektedir. Kronik evrede her iki böbrekte simetrik tutulum (parankimal incelme, boyut değişiklikleri izlenebilir). (60)

Yine kronik interstisyal nefrite fokal veya segmental glomeruloskleroz ve tubuler değişiklikler izlenir. Bu değişiklikler sonografide akut dönemde parankimal ekojenite artışı şeklindedir. Kronik evrede ise parankimal kayıp izlenebilir. Interstisyal nefritis AIDS epidemisi ile artan prevalans göstermektedir. Ancak Behçet hastalığına bağlı gelişen interstisyal nefritis kendini sınırlayan benign bir antite olup прогнозu iyidir (61).

Renal amiloidozis primer ve sekonder olmak üzere iki grupta incelenmektedir. Primer tip genellikle 60 yaş üzeri erkeklerde görülür. Sekonder amiloidozis nedenleri multipl myeloma, romatoid artritis, tüberküloz, Ailesel Akdeniz Ateşi, renal hücreli kanser, Hodgkin hastalığı ve Behçet hastalığını da içeren vaskülitik sendromlardır. Akut dönemde her iki böbrekte simetrik genişleşme görülebilmektedir. Kronik dönemde ise böbreklerde küçülme ve kortikal atrofi, korteks ekojenite artışı görülebilir. Ayrıca fokal renal kitleler, amorf kalsifikasyon odakları ve santral pelvik kitleler bildirilmiştir (62). Olgularımızın renal morfolojilerini değerlendirmek amacıyla yapılan gri

skala ultrasonografi incelemesinde böbrek boyutları ve parankim kalınlığını karşılaştırılmış ve bütün Behçet hastaları ile kontrol grubu arasında istatistiksel olarak anlamlı fark bulunmamıştır. Ancak hastalık süresi altı yılın üzerinde olan hastalarda her iki renal parankim kalınlıkları kontrol grubuna göre daha düşük bulundu. Parankim kalınlığındaki bu azalmayı renal Behçet hastalığının üç ayrı formunda görülebilen ki bunlar glomerülonefritis, interstiyel nefritis ve amiloidozis' tır parankimal hasar açıklayabilir.

Altı yıldan daha az süredir Behçet hastası olan grupta kontrol grubu ile karşılaştırıldığından renal arterlerde çap ve debi azalması görülmekle birlikte istatistiksel olarak anlamlı bulunmadı. Ancak 7 yıl ve daha uzun süredir hasta olan grupta ise bu fark anlamlıdır. Sonuçlarımız hastalık süresinin renal arter çap ve debisi üzerinde etkisi bulunduğu göstermiştir. Bu nedenle, fibrotik değişikliklerin uzun dönemde ortaya çıkması da göz önüne alındığında (32), renal arter çapındaki azalmanın ve dolayısı ile debideki azalmanın Behçet hastalığının vasküler yapılar üzerindeki patolojik etkileri ile açıklanabileceğini düşünmekteyiz.

Kan akım hızları kardiyovasküler pek çok olaydan etkilendiği ve bu nedenle daha az güvenilir parametreler oldukları bildirilmiştir (49). Bu nedenle kan akım hızlarına ait parametreler (PSV, EDV, TAM) çok değişken değerlerle karşımıza çıkmaktadır. Biz de Behçet hastalarının bu parametrelerinde kontrol grubu ile karşılaştırıldığından istatistiksel olarak anlamlı fark saptayamadık.

Literatürde behçet hastalarında vasküler tutulum oranı % 7- 60 oranında değişmektedir (28). Daha sık görülen venöz tutulum olup arteriel tutulum oranı ,makroskopik düzeyde, değişik çalışmalarda % 1-3,5 arasında değişmektedir. Tutulum anevrizma gelişimi ve arter tikanması şeklinde görülebilmektedir. Kuzu ve ark.(63) 1200 Behçet hastasını kapsayan çalışmalarında 173 olguda (% 14,4) venöz, 19 olguda (% 1,6) arteriel tutulum saptamışlardır. Bu 19 hastaya ait arteriel tutulumun dağılımı 7 femoral arter, 3 abdominal arterler, 3 popliteal arter, 2 iliak arter, 2 pulmoner arter, 1 aksiller arter, 1 karotid arterler şeklinde olup hastalardan 3 ünde oklüzyon bildirmiştir. Çalışmamızda renal arterlere ait makroskopik tutulum (anevrizma veya oklüzyon) saptanmamıştır.

Çalışmamızda renal ve interlober arterlere ait daha önceki diğer hastalıklarda yapılan çalışmalarda sıklıkla kullanılan, sistemik hemodinamik değişiklerde fazla etkilenmeyen RI, PI, RAO gibi parametrelerde istatistiksel olarak anlamlı fark bulunmadı.

Behçet hastalığında üriner sistem erkeklerde daha sık ve daha ağır tutulum gösterir (29). Koç ve ark. (64), 137 hastayı kapsayan çalışmalarında behçet hastalarında vasküler tutulumu değerlendirmiştir. Burada vasküler tutulum oranı % 27,7 olup erkeklerde 4,4 kat daha fazla görüldüğünü ortaya koydular. El Ramani ve ark. (65) çalışmalarında renal tutulumu olan 9 Behçet hastasının 8'inin erkek olduğunu bildirmiştir.

Rosenthal ve ark. (66) Behçet hastalığında semptomların başlamasından sonra amilodoz görülmeye süresinin 16 ay ile 27 yıl arasında değiştiğini bildirmiştir. Aynı çalışmada bu sürenin erkek hastalarda daha kısa olduğu ve aradaki farkın istatistiksel olarak anlamlı olduğu belirtilmektedir. Bizim çalışmamızda da erkek hastalarda renal arter çaplarında ve debilerinde kontrollere göre anlamlı düşüş saptandı. Kadın hastalarda ise sağ renal arter çapı da kontrollere göre daralmakla birlikte istatistiksel olarak soldaki daralma anlamlıdır. Yine her iki renal arter debileri kadın Behçet hastalarında kontrollere göre daha düşük olmakla birlikte aradaki fark istatistiksel açıdan anlamlı değildir. Bu sonuçlarımız Behçet hastalığının üriner sistemdeki etkilerinin erkeklerde daha belirgin olduğunu desteklemektedir.

Çalışmamızda katılan Behçet hastalarının renal parametreleri sağ ve sol böbrekler arasında değerlendirildiğinde her iki renal ve interlober arterlere ait doppler parametrelerinin karşılaşırılışmasında istatistiksel olarak anlamlı fark bulunmamıştır. Behçet hastalığı sistemik bir hastalık olduğundan bilateral etkilenmenin olduğu söylenebilir.

Behçet hastalığında renal tutulumun ayırcı tanısında tedaviye bağlı yan etkiler göz önünde bulundurulmalıdır. Literatürde siklosporin toksisitesine bağlı hemolitik üremik sendrom / trombotik trombositopenik purpura bildirilmiştir (67,68). Siklosporin toksisitesi (69) ve siklofosfamid kullanımına bağlı mesane kanseri (70), nörojenik mesane (71) tanımlanmıştır. Çalışmamıza katılan hastalar kortikosteroid ve / veya kolçisin tedavisi almaktaydilar ve sözü edilen şikayetleri bulunmamaktaydı. Ancak non steroid anti inflamatuar ilaçlar ve interferon Behçet hastalığı tedavisinde halen kullanılmakta olup bu ilaçlara bağlı renal problemler de görülebilmektedir (32).

SONUÇ

Çalışmamızda erkek hastalarda renal tutulumun daha belirgin olduğu, hastalık süresinin uzaması ile kronik değişikliklerin ve renal parankim hasarının belirginleştiği bunun gri skala ultrasonografide böbrek parankimlerinde simetrik incelme ve doppler analizde her iki renal arter çaplarında daralma ve her iki renal arter debilerinde azalma ile izlenebildiği , sistolik kan basıncının istatistiksel olarak anlamlı olmayan bir artış gösterdiği, albümün, BUN, kreatinin gibi biokimyasal parametreleri değiştirecek kadar belirgin renal tutulumun bulunmadığı saptanmıştır. Sistemik vaskülitik bir hastalık olan Behçet hastalığının renal tutulumunun değerlendirilmesinde daha geniş hasta grupları ile prospектив çalışmaların yapılması gereklidir.

BEHÇET HASTALIĞINDA RENAL RENKLİ DOPPLER İNCELEME

ÖZET

Haziran 2001 ile Mayıs 2002 tarihleri arasında İnönü Üniversitesi Turgut Özal Tıp Merkezi Göz Hastalıkları ve Dermatoloji Ana Bilim Dallarında Behçet hastalığı tanısı ile takip edilen 32 hasta ve karşılaştırma amacı ile aynı yaşı ve cinsiyette 32 gönüllüden oluşan kontrol grubu проспектив çalışmaya alındı. Her iki grupta 18 erkek ve 14 kadın bulunmakta idi. Behçet hastalarının yaşıları 17 ile 54 arasında değişmekte olup ortalamaları 34.88 idi. Kontrol grubunun yaşıları 16 ile 54 arasında değişmekte olup ortalamaları 34.69 dur. Behçet grubunda hastalık süresi 1-20 yıl arasında değişiyordu. (Ortalama 8.5 yıl)

Renal tutulum göstergeleri olarak albürmin, kreatinin ve kan üre azotu (BUN) bakıldı. İncelemede ATL HDI 5000 doppler cihazı kullanıldı. 3.5 MHz lik sektör proba inceleme yapıldı. Gri skala USG ile her iki böbreğin kontur, parankim yapısı, ekojenitesi ve boyutları değerlendirildi. Ortalama parankim kalınlıkları not edildi.

Doppler incelemede her iki renal arterin proksimal kesiminden (aort çıkışından itibaren ilk 2 cm) ve interlober arterler araştırıldı. Her iki renal arter debilerini değerlendirmek amacıyla bilateral renal arter çaplarını Doppler inceleme seviyesinde ölçütük. Doppler parametreleri Pik sistolik akım hızı (PSV), Diastol sonu akım hızı (EDV), Zaman aralığı ortalama akım hızı (TAM), Sistol diastol oranı (S/D), Rezistans indeksi (RI), Pulsatilit indeksi (PI), Akselerasyon zamanı (AT) ve ml/dk cinsinden her iki renal arter debisi (RAD) akım örnekleri alındıktan sonra cihaz tarafından otomatik olarak hesaplandı. Her iki böbrekte renal arter pik sistolik akım hızı / aorta pik sistolik akım hızı (Reno aortik oran) hesaplandı.

İstatistiksel incelemede SPSS for Windows 10.0 paket programı, student's t testi şeklinde grupların karşılaştırılmasında kullanıldı.

Behçet hastalarında BUN, Kreatinin ve Albürmin değerleri normal sınırlardaydı.

Gri skala incelemede 7 yıl ve daha uzun süredir Behçet hastalığı tanısı alan grubun renal parankimleri kontrol grubundan daha olup fark anlamlıydı.

Renkli doppler incelemede, Behçet hastalarının TAM değerleri 7 yıl ve daha uzun hastalık süresi grubunda daha düşüktü. Her iki renal arter çapları Behçet grubunda hastalık süresinden bağımsız olarak daha küçüktü.

Çalışmamızda renal arterlere ait makroskopik tutulum (anevrizma veya oklüzyon) saptanmadı. Makroskopik tutulum varlığı doppler verileri ile değerlendirildi.

Erkek olgularda renal arter çaplarında azalma ve debilerde düşüş kontrol grubu ile karşılaşıldığında istatistiksel olarak anlamlıydı. Kadın olgularda yalnızca sol renal arter çaplarında azalma anlamlı bulundu. Yine her iki renal arter debileri erkek Behçet hastalarında kontrollere göre düşüktür.

Çalışmamızda elde ettiğimiz bulgular : Erkek hastalarda renal tutulumun daha belirgin olması, hastalık süresinin uzaması ile kronik değişikliklerin ve renal parankim hasarının belirgin hale gelmesidir. Behçet hastalığının renal tutulum görünümelerinde glomerülonefritis, interstisyal nefrit, ve daha az sıklıkla amiloidozisde renal parankim hasarı ve nefron kaybı gözlenehilmektedir.

Ayrıca Behçet hastalarının sistolik arteriyel tansiyon değerleri kontrol grubu ile kıyaslandığında daha yüksek değerdemasınamasına karşın aradaki fark istatistiksel olarak anlamlı bulunmamıştır. Albümin, BUN, Kreatinin gibi biyokimyasal parametreleri değiştirecek kadar belirgin renal tutulum bulunmamıştır.

KAYNAKLAR

1. Ghate JV, Jorizzo JL. Behcet's disease and complex apoptosis. *Journal of American Acad Dermatology* 1999; 40: 1-18
2. Saylan T, Mat C, Fresco I, Melikoglu M. Behcet's Disease In The Middle East. *Clinical Dermatology* 1999; 17: 209-223
3. Gürler A, Boyvat A. Behcet Hastalığında tedavi. XIII. Prof. Dr. A. Lütfü Tat Simpozumu Ana Konular Kitapçığı: Gürgey E (ed.) Ankara: Nurol Matbaacılık 1997; 12-20
4. Wong RC, Ellis CN, Diaz LA, Behcet's Disease. *International Journal of Dermatology* 1984; 23: 25-32
5. Tüzün Y. Behcet Hastalığında Oral ve Genital Lezyonlar ile Nonspesifik Deri Aşırıduyarlılığının Histopatolojisi. Doçentlik Tezi. İ.U. Cerrahpaşa Tip Fakültesi 1981
6. Chamberlain MA. Behcet's syndrome in 32 patients in Yorkshire. *Ann Rheumatologic Diseases* 1977; 36: 491-499
7. O' duffy JD, Summary of International Symposium on Behcet's Disease. *Journal of Rheumatology* 1978; 5: 229-233
8. Özkan Ş, İlknur T, Fetil E, Gürler N, Boyraz N, Aydar AG, Koçyiğit A. Behcet Hastalığında Klinik Bulgular : Geriye Dönük İnceleme. D.E.Ü.Tip Fakültesi Dergisi 2001; 4: 319-324
9. Sakane T, Takeno M, Suzuki N, Inaba G, Behcet's Disease. *N. England Journal of Medicine* 1999; 341: 1284-1291
10. Köse A, Dişçi R, Övül C, Kural Z. Juvenile Behcet's Disease Among 1784 Turkish Behcet's Patients. *International Journal of Dermatology* 1996; 35: 109-111
11. Palalı Z, Acar A, Sarıcaoğlu H, Tunali Ş, Tokgöz N. Behcet Hastalarında Paterji Testi Sonuçları XV. Dermatoloji Kongresi Bildiri Kitabı, İzmir Doğruyol Ofset 1996; 186-189
12. Türsen Ü, Gürler A, Behcet Hastalığı ve Genetik. *Türk Klinik Dermatoloji* 2000; 10: 37-43
13. Hamuryudan V, Yurdakul S, Özbakır F, Hekim H. Monozygotic Twins Concordant For Behcet's Syndrome Arthritis. *Rheumatology* 1991; 34: 1071-1072
14. Yazıcı H, Tüzün Y. Behcet Hastalığında Doku Antijenleriyle Aile Çalışmaları. VII. Ulusal Dermatoloji Kongresi El Kitabı, Birgül Ö (ed). Bursa, Bursa Üniversitesi Basimevi 1980; 253-255
15. Erboz S, Kabaklı T, Alper S, Saygı N, Öztürk G, Ergezer G. Behcet Hastalığı İstanbul Teknografik Matbaacılık 1989; 223-227
16. Gürler A, Boyvat A. Behcet Hastalığının İmmünopatogenezi. II. Ege Dermatoimmünoloji Simpozumu Kitabı, Erboz S, Öztürk G İzmir 1997; 29-44

17. Azizlerli G, Özarmagan G, Övül C, Yezenoglu Y, Sarica R, Kabalak T. Behcet Hastalığında Herpes Virüs ve Chlamidia Antikorları. XII Ulusal Dermatoloji Kongresi Serbest Bildiriler Kitabı. Tüzün Y, Kotoğyan A, Serdaroglu S (eds). İstanbul Teknografik Matbaacılık 1989; 277-279
18. Avcı O, Ellidokuz E, Şimşek İ, Büyükgelibz B, Güneş AT. Helicobacter Pylori and Behcet's Disease Dermatology 1999; 199: 140-143
19. Sonntag AK, Schwanitz HJ. Zum aktuellen Stand Der Dermatomikrobiologie, Hautarzt 2002; 53: 230-237
20. Münke H, Stöckmann F, Ramadori G. Possible Association between Behcet's Syndrome and Chronic Hepatitis C Virus Enfection, N England Journal of Medicine 1995; 332: 400-401
21. Benezra DD. More on Hepatitis C Virus and Behcet's Syndrome N England Journal of Medicine 1995; 333: 322-323
22. Gürler A, Tekeli E, Gül Ü, Balık İ. Behcet Hastalığında Hepatit Marker'ları. XII. Ulusal Dermatoloji Kongresi Serbest Bildiriler Kitabı, Tüzün Y, Kotoğyan A, Serdaroglu S (eds.) İstanbul Teknografik Matbaacılık 1989; 37-41
23. Çalikoğlu E, Gürler A, Stres Proteinleri ve Behcet Hastalığı. Türk Klinik Dermatoloji 1998;8:189-193
24. Polla BS, Heat(Shock) and the Skin. Dermatologica 1990; 180: 113-117
25. Edwards MJ, Marks R, Dykes MJ, Merrerr VR, Morgan HE, O' Donovan MR. Heat Shock Proteins in Cultured Human Keratinocytes and Fibroblasts, Journal of Invest. Dermatology 1991; 101: 334-338
26. International Study Group of Behcet's Disease Criteria for Diagnosis of Behcet disease. Lancet 1990; 335: 1078-1080
27. Barnes CG. Diagnostic (classification) criteria in Behcet's syndrome. Hamza M. Behcet's Disease; Tunis: Pud Adhoua,1997 : 209-211
28. Ames PRJ, Steuter A, Pap A, Denman AM. Trombosis in Behcet's disease. A Retrospective Survey From a Single UK centre. Rheumatology 2001; 40: 652-655
29. O' Duffy JD. Vasculitis in Behcet's disease Rheumatic Disoreders Clinics of North America 1990; 16: 423-431
30. Kaklamani VG, Vaiopoulos G, Markomichelakis N, Kaklamanis P. Recurrent Epididymo-orchitis in Behcet patients Journal of Urology 2000; 163:487
31. Tunaci M, Özkorkmaz B, Tunaci A, Güllü A, Gülgün E, Acunaş B. CT Findings of Pulmunor Artery Anevism During Treatment of Behcet Disease. AJR:172, March 1999; p:729
32. Akpolat T, Akkoyunlu M, Akpolat İ, Melda D, Odabaş A R, Özgen S. Renal Behcet's Disease : A cumulative analysis

33. Yurdakul S, Tüzün Y, Mat C, Özyatağan Y, Yazıcı H. Behçet sendromu, Dermatoloji. Tüzün Y, Kotoğyan A, Aydemir EH, Baransü O (eds) 2. Baskı. İstanbul Nobel Tıp Kitabevi 1994; 393-399
34. Demir GA, Kurt BB, Serdaroğlu P, Gürvit H, Yazıcı H, Bahar S, Aktin E. Seven Year follow-up of Neurologic Involvement in Behçet syndrome, 1996; 53: 691-694
35. Human Anatomy. Frederich H, Martini Ph, D., Michael J, Timmons ; pp: 664-675
36. Rumack CM, Wilson SR, Charboneau JW. Diagnostic Ultrasound 1998; 1:334-335
37. Ödev K. Üriner Sistem Radyolojisi Konya, Atlas Kitabevi 1992: 202-203
38. Scout LM, Zawin ML, Taylor KJW. Doppler US part II. Radiology 1990; 174: 309-314
39. Norris CJ, Pieffer JS, Rittgers SE, Barnes RW. Non Invasive Evaluation of Renal Artery Stenosis and Renovascular Resistance. Journal of Vascular Surgery 1984, 1: 192-201
40. Becker JA. Evaluation of renal function. Radiology 1991; 179: 337-338
41. Yura T, Yuasa S, Sumikura T, Takahashi N. Doppler Sonographic Measurement of Phasic Renal Artery Flow Velocity in Patients With Chronic Glomerulonephritis. Journal of Ultrasound Medicine 1993; 174: 309-319
42. Yura T, Yuasa S, Sumikura T, Takahashi N et al. Doppler Sonographic Measurement of Phasic Renal Artery Flow Velocity in Patients With Chronic Glomerulonephritis. Journal of Ultrasound 1993; 4: 215-219
43. Platt JF. Duplex Doppler Evaluation of Native Kidney Dysfunction: Obstructive and Non obstructive Disease. AJR 1992: 1035-1042
44. Mastorakou I, Lindsell M, Piepoli M, Adamopoulos S, Ledington JGG. Pulsatility and Resistance Indices In Renal Arteries of Normal Adults. Abdominal Imaging 1994; 19: 369-373
45. Kim SH, Kim SM, Lee HK, Kim S, Lee JS, Han MC. Diabetic Nephropathy Duplex Doppler Ultrasound findings, Diabetic Res Clinical Practice 1992; 18: 75-81
46. Taylor KJW, Burns PN, Woodcock JP, Wells PNT. Blood Flow in Deep Abdominal and Pelvic Vessels: Ultrasonic Pulsed Doppler Analysis. Radiology 1985; 154: 487-493
47. Gottlieb RH, Lutmann K, Oates RP. Duplex Ultrasound Evaluation of the Kidney. Differentiation of Obstructive From Non-obstructive Dilatation. Radiology 1989; 8: 609-611
48. Pozniak MA, Keloz F, Stratta RJ, Terry DO. Extraneous Factors Affecting Resistive Index. Invest. Radiology, 1988; 23: 899-904
49. Motsbeck GH, Gössinger HD, Mallek R, Siostrzonek P, Schneider B. Effects of Heart Rate on Doppler Measurement of Resistive Index in Renal Arteries. Radiology, 1990;175; pp:511-513

50. Will R. Measurement of Blood Flow by Ultrasound: Accuracy and Sources of Error. *Ultrasound In Medicine and Biology* 1985; Vol:11 No:4; pp:625-641
51. GY Ko, JY Byun, BG Choi, S H Cho. The Vascular Manifestations of Behcet Disease. *Angio and CT Findings* British Journal of Radiology, Dec 2000
52. Rosenthal T, Weiss P, Gofni J, Renal involvement in Behcet's syndrome Arch International Medicine. 1987 July, 138 (7): 122-4
53. Kimmel PL: Management of the patient with chronic renal disease. Primer in kidney disease second edition. San Diego, Academic, 1998, p:434
54. Beaufils H, Cassou B, Auriol M, Herremans G, Wechsler B, Roujeau JC. Kidney involvement in Behcet's syndrome. A report of 11 cases studied by optic, ultrastructural and immunopathological techniques. *Virchows Arch* 1980; 388: 187-98
55. Herremans G, Beaufils H, Godeau P, Cassou B, Wanchsler B et al. Behcet's syndrome and renal involvement.: A histological and immunofluorescent study of eleven renal biopsies. *Am J Med Sci* 1982; 284: 10-17
56. Rizzi R, Bruno S, Damacco R. Behcet's disease: An Immune-mediated Vasculitis Involving Vessels of All Sizes. *International Journal of Clinical and Laboratory Research* 1998; Vol 27 p:225-234
57. Gürler A, Boyvat A, Tursen U. Clinical manifestations of Behcet's disease. An analysis of 2147 patients. *Yonsei Med J* 1997;38: 423-7
58. Shahram F, Davatchi et al. The 1996 Survey of Behcet's disease in Iran. Study of 3153 cases. Seventh International conference on Behcet's disease; *Rev Rheu Eng Ed*(1996); 63: 538
59. Zouboulis CC, Kotter I et al. Epidemiological features of Behcet's disease in Germany and Europe. *Yonsei Med J* 1997; 38: 411-22
60. Klinik Radyoloji, Efecan Tuncel.
61. Urban BA, Fishman EK et al: CT evaluation of amyloidosis, spectrum of disease. *Radiographics* 1993; 13: 1295-1308
62. Homper HM, Goldblum LE et al: Renal involvement in AIDS: Sonographic-pathologic correlation. *AJR* 1998; 150: 1321-25
63. Kuzu M A Özslan C, Köksoy C. Vascular Involvement in Behcet's disease. *World Journal of Surgery* 11,12 1954; 18 (6): 948-953
64. Koc Y, Gulu I, Aksek G. Vascular Involvement in Behcet's Disease. *Journal of Rheumatology* March 1992;19 (3):402-410
65. El Ramahi KM, Al Dalaan A, Shaikh A, Al Meshari K, Akhtar M. Renal involvement in Behcet's disease: Review of 9 cases. *J Rheumatol* 1998 Nov, 25(11): 2254- 2260

66. Rosenthal T, Bank H, Aladjem M et al. Systemic amyloidosis in Behcet's disease. Ann Inter Med 1975; 83: 220-223
67. Beaufils H, de Groc F et al. Hemolytic uremic syndrome in patients with Betcet's syndrome treated with cyclosporin A: Report of 2 cases. Clin Neph 1990; 34: 157-62
68. Docci D, Baldrati et al. Hemolytic uremic syndrome / Trombotic thrombocytopenic purpura in a patient with Behcet's disease treated with cyclosporin. Nephron 1997; 75: 356-357
69. Sakemi T, Yoshiyuki T, Ikeda Y, Suzuki N, Nagasawa K. End stage renal failure due to crescentic glomerulonephritis in a patient with Behcet's Syndrome. Review of literature. Am J Neph 1998; 18: 321-4
70. Çelik I, Altundağ K, Erman M, Baltalı E. Cyclophosphamide associated carcinoma of the urinary bladder in Behcet' s disease. Nephron 1999; 81: 239
71. Porru D, Pau AC, Scarpa RM, Zanolla L, Cao A. Behcet' s disease and the neuropathic bladder: Urodynamic features: Case report and literature review. Spinal cord 1996; 34: 305-7

ÖZGEÇMİŞ :

4 Ekim 1972 tarihinde İzmir' de doğdum.

İlk ve Ortaöğretimimi İzmir' de tamamladım.

İlk üniversite sınavında 1989 yılında Ege Üniversitesi Kimya Mühendisliğini kazandım.

Burada 3 yıl eğitim gördükten sonra tamamlamadan tekrar üniversite sınavına girdim.

1992 yılında ikinci üniversite sınavı ile Ege Üniversitesi Tıp Fakültesi' ne girdim ve 1998 yılında buradan mezun oldum.

1998 Eylül dönemi TUS sınavı ile İnönü Üniversitesi Radyodiagnostik bölümünü kazandım. Bu tarihten beri araştırma görevlisi olarak çalışmaktayım.